

Theoretische Physik III (Schäfer)

Robin Heinemann

6. Mai 2018

Inhaltsverzeichnis

A	Phänomenologie der Maxwell-Gleichungen	4
A.1	elektrisches Feld	5
A.2	elektrische Feldstärke	5
A.3	Maxwell-Gleichungen	5
A.4	Eigenschaften der Maxwell-Gleichungen	6
A.5	Erhaltung der elektrischen Ladung	7
A.6	Elektrodynamik in Materie	7
A.7	elektrisches Potenzial → Elektrostatik	8
A.8	Dirac-Funktion δ_D	9
A.9	potenzielle Energie und das elektrostatische Potenzial	9
A.10	Eigenschaften der δ_D -Funktion	10
A.11	Feldänderung an einer Oberfläche	10
A.12	Energie einer statischen Ladungsverteilung	11
B	Potentialtheorie	13
B.1	Green-Theoreme	14
B.2	Eindeutigkeit des Potenzials	15
B.3	Green-Funktion → Potenzial einer Punktladung	15
B.4	Multipolentwicklung	17
B.5	sphärisch-harmonische Funktionen	19

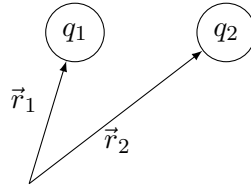
B.6	Alternativer Zugang zur Multipolentwicklung → Taylor-Reihe in kartesischen Koordinaten	20
B.7	Wechselwirkung einer Ladungsverteilung mit einem externen Feld	22
B.8	Polarisation und Modelle für Dielektrika	22
X	orthogonale Funktionensysteme	24
X.1	orthogonale Funktionensysteme	25
X.2	Kugelflächenfunktionen (spherical harmonics)	27
B	Fortsetzung Potentialtheorie	29
B.10	Helmholtz-Zerlegung	30
B.11	Biot-Savart-Gesetz	31
B.12	Potenziale und Eichung → allgemeiner Form	33
B.13	elektromagnetische Wellen	34
C	elektromagnetische Wellen	36
C.1	Wellen im Vakuum: $\rho = 0, \vec{j} = 0, \varepsilon = \mu = 1$	37
C.2	Polarisation	38
C.3	Energietransport durch das elektrische Feld	38
C.4	Implustransport durch das elektromagnetische Feld	39
C.5	Elektromagnetische Wellen in Materie	40
C.6	Wellengleichungen + retardierte Potentiale: Helmholtz Differentialgleichung	42
C.7	Wellenfunktion und retardierte Potentiale: allgemeine Konstruktion	44
Y	Differenziation und Integration komplexer Funktionen	49
Y.1	Cauchy-Riemann-Differentialgleichungen	50
Y.2	Linienintegrale	50
Y.3	Cauchy-Theorem und holomorphe Funktionen	51
Y.4	Laurent-Reihen - komplexe Potenzreihen	52
Y.5	Residuensatz → Berechnung von a_{-1}	53

Y.6 Laplace-Gleichung in 2D	54
C Fortsetzung elektromagnetische Wellen	56
C.8 Dispersion von Wellen	57
C.9 Liénard-Wiechert-Potential	57
C.10 Hertz-Dipol → Feld eines zeitabhängigen Dipols	58
D Lorentz-Geometrie und spezielle Relativität	61
D.1 Lorentz- und Galilei Transformationen	62
D.2 allgemeinste lineare Transformationen zwischen 2 Bezugssystemen	62
D.3 Lorentz-Invarianten	64
D.4 Rapidity und hyperbolische Rotation	64
D.5 Vergleich zwischen Lorentz-Transformationen und Drehungen	64
D.6 Symmetrie der Raumzeit	64
D.7 Additionstheorem für Geschwindigkeiten	64
D.8 relativistische Effekte	64
D.9 Eigenzeitintegral	64
D.10 relativistische Energie-Impuls-Beziehung	66
D.11 geometrische Sicht auf Bewegung	67
D.12 Lorentz-Kräfte und Feldstärketensor	67
E kovariante Elektrodynamik	69
E.1 homogene Maxwell-Gleichungen	70
E.2 Kontinuität der Ladungsdichte	70

Teil A.

Phänomenologie der Maxwell-Gleichungen

A.1. elektrisches Feld



$$F = k \frac{q_1 q_2}{|\vec{r}_1 - \vec{r}_2|^2}$$

$$k = \frac{1}{4\pi\epsilon_0}$$

$$\epsilon_0 = 8654 \times 10^{-12} \text{ A s V}^{-1} \text{ m} \simeq \frac{1}{4\pi 9 \times 10^9} \text{ A s V}^{-1} \text{ m}$$

im SI-System.

$$q \rightarrow \frac{q}{\sqrt{4\pi\epsilon_0}} \rightarrow k = 1, F = \frac{q_1 q_2}{|\vec{r}_1 - \vec{r}_2|^2}$$

q wird gemessen in $\sqrt{\text{erg cm}} = 1 \text{ esu}$ „elektrostatic unit“.

A.2. elektrische Feldstärke

$$\vec{E}(\vec{r}) = \frac{\vec{F}(\vec{r})}{q}$$

! Achtung

viele Bücher verlangen:

$$\vec{E}(\vec{r}) = \lim_{\Delta q \rightarrow 0} \frac{\Delta \vec{F}}{\Delta q}$$

dies ist nicht notwendig \rightarrow Linearität der Elektrodynamik

analog: Lorentz-Kraft auf bewegte Ladungen \rightarrow magnetische Felder

A.3. Maxwell-Gleichungen

\rightarrow axiomatisch für die Elektrodynamik. Verbindung zwischen Ladungsdichte ρ , elektrischen Stromdichte \vec{j} und den Feldern \vec{E} , \vec{D} , \vec{H} und \vec{B} . In einem Inertialsystem nehmen die Maxwell-Gleichungen diese Form an:

1. $\text{div } \vec{E} = \nabla \cdot \vec{E} = 4\pi\rho$ Gesetz von Gauß.
elektrische Ladungen sind Quellen des elektrischen Feldes

$$\int_V d^3r \text{div } \vec{E} \stackrel{\uparrow}{=} \int_{\partial V} d\vec{S} \vec{E} = \psi = \int_V d^3r 4\pi\rho = 4\pi q \stackrel{\uparrow}{\text{einschl. Ladung}}$$

\downarrow
el. Fluss

$$2. \operatorname{div} \vec{B} = \nabla \cdot \vec{B} = 0$$

$$\int_v d^3r \operatorname{div} \vec{B} = \int_{\partial V} d\vec{S} \cdot \vec{B} = \phi = 0$$

$$3. \operatorname{rot} \vec{E} = \nabla \times \vec{E} = -\partial_{ct} \vec{B} \text{ Faraday-Induktionsgesetz.}$$

↓
Lenz.-Regel.

$$\partial_{ct} = \frac{\partial}{\partial(ct)} = \frac{1}{c} \frac{\partial}{\partial t}$$

$$\int_S d\vec{S} \cdot \operatorname{rot} \vec{E} = \underbrace{\int_{\partial S} d\vec{r} \cdot \vec{E}}_U = -\frac{d}{d(ct)} \underbrace{\int_S d\vec{S} \cdot \vec{B}}_\phi$$

$$4. \operatorname{rot} \vec{B} = \nabla \times \vec{B} = \partial_{ct} \vec{E} + \frac{4\pi}{c} \vec{j}$$

$$\int_S d\vec{S} \operatorname{rot} \vec{B} = \int_{\partial S} d\vec{r} \cdot \vec{B} = \frac{d}{(ct)} \underbrace{\int_S d\vec{S} \cdot \vec{E}}_\psi + \frac{4\pi}{c} \underbrace{\int_S d\vec{S} \cdot \vec{j}}_I$$

A.4. Eigenschaften der Maxwell-Gleichungen

- zwei skalare und zwei vektorielle Gleichungen
- lineare, partielle Differentialgleichungen erster Ordnung
- für vorgegebene ρ und \vec{j} lassen sich \vec{E} und \vec{B} berechnen
- **oder** aus einer Feldkonfiguration \vec{E} und \vec{B} lassen sich Ladungen ρ und \vec{j} finden
- Maxwell-Gleichungen gelten in einem Inertialsystem: erst die Definitionen aus Bezugssystem bestimmt, was ρ und \vec{j} ist, und damit \vec{E} und \vec{B}
darüber hinaus ist mit Wahl des Systems klar, was ∂_{ct} ist, und damit ∇ .
- nur eine Skala enthalten: $c \sim$ Lichtgeschwindigkeit
- im Vakuum: $\rho = 0, \vec{j} = 0: \epsilon = 1 = \mu \rightarrow \vec{D} = \vec{E}, \vec{H} = \vec{B}$.

$$\operatorname{div} \vec{E} = 0$$

$$\operatorname{div} \vec{B} = 0$$

$$\operatorname{rot} \vec{E} = -\partial_{ct} \vec{B}$$

$$\operatorname{rot} \vec{B} = \partial_{ct} \vec{E}$$

Wenn man $\vec{E} \rightarrow \vec{B}, \vec{B} \rightarrow -\vec{E}$ vertauscht, dann ändern sich die Gleichungen nicht \rightarrow **elektromagnetische Dualität**.

- seltsame Asymmetrie, es gibt kein ρ_{mag} oder \vec{j}_{mag}

$$\operatorname{div} \vec{B} = 4\pi \rho_{\text{mag}} = 0$$

$$\operatorname{rot} \vec{E} = -\partial_{ct} \vec{B} + \underbrace{\frac{4\pi}{c} \vec{j}_{\text{mag}}}_{=0}$$

A.5. Erhaltung der elektrischen Ladung

$$\begin{aligned} \operatorname{rot} \vec{B} &= \partial_{ct} \vec{E} + \frac{4\pi}{c} \vec{j} \\ \operatorname{div} \operatorname{rot} \vec{B} &= \varepsilon_{ijk} \partial_i \partial_j B_k = 0 = \partial_{ct} \underbrace{\operatorname{div} \vec{E}}_{=4\pi\rho} + \frac{4\pi}{c} \operatorname{div} \vec{j} \\ &= \frac{4\pi}{c} (\partial_t \rho + \operatorname{div} \vec{j}) \\ \implies \partial_t \rho + \operatorname{div} \vec{j} &= 0 \quad \text{(Kontinuitätsgleichung)} \end{aligned}$$

Aus der Kontinuitätsgleichung folgt die Ladungserhaltung

$$\int_V d^3r \partial_t \rho = \frac{d}{dt} \underbrace{\int_V d^3r \rho}_q = - \int_V d^3r \operatorname{div} \vec{j} = - \int_{\partial V} d\vec{S} \cdot \vec{j}$$

- Änderung der Ladung in einem Volumen = Fluss der Ladung durch die Oberfläche.
- Dynamik der Felder ist konsistent zur Bewegung der Ladungen
- gilt auch in Materie! Ampere-Gesetz und Gauß-Gesetz enthalten falls $\varepsilon \neq 1$ die dielektrische Verschiebung \vec{D} .
- es existiert implizit eine zweite Erhaltungsgleichung für die magnetische Ladungen, die nicht existieren. 2(1 + 3) Maxwell-Gleichungen für 2 · 2 · 3 Felder!

A.6. Elektrodynamik in Materie

Wechselwirkungen zwischen dem elektromagnetischen Feld und Materie ist **sehr** kompliziert im Mikroskopischen → in vielen Fällen ist es trotzdem möglich, mit zwei Konstanten eine einfach **effektive** Beschreibung zu finden.

- ε : Dielektrizitätskonstante → $\vec{D} = \varepsilon \vec{E}$
- μ : Permeabilitätskonstante → $\vec{B} = \mu \vec{H}$

Im Vakuum: $\varepsilon = 1, \mu = 1$, in Materie: $\varepsilon \neq 1, \mu \neq 1$

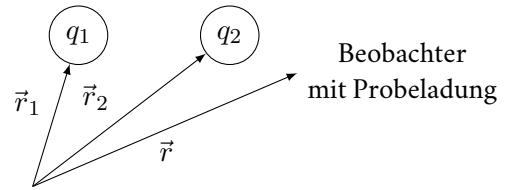
im Vakuum	in Materie
$\operatorname{div} \vec{E} = 4\pi\rho$	$\operatorname{div} \vec{D} = 4\pi\rho$
$\operatorname{div} \vec{B} = 0$	$\operatorname{div} \vec{B} = 0$
$\operatorname{rot} \vec{E} = -\partial_{pt} \vec{B}$	$\operatorname{rot} \vec{E} = -\partial_{pt} \vec{B}$
$\operatorname{rot} \vec{B} = \partial_{ct} \vec{E} + \frac{4\pi}{c} \vec{j}$	$\operatorname{rot} \vec{H} = \partial_{ct} \vec{D} + \frac{4\pi}{c} \vec{j}$

(wir brauchen noch zwei Konzepte, Dipolfelder und das elektrische Potenzial um ein Modell für ε aufstellen zu können).

A.7. elektrisches Potenzial → Elektrostatik

$$\vec{E}(\vec{r}) = q_1 \frac{\vec{r} - \vec{r}_1}{|\vec{r} - \vec{r}_1|^3}$$

$$\vec{E}(\vec{r}) = \sum_i q_i \frac{\vec{r} - \vec{r}_i}{|\vec{r} - \vec{r}_i|^3}$$



(Definiton: Probeladung ist positiv → abstoßende

Coulomb-Kraft falls $q_1 > 0$.)

Superposition wegen der Linearität der Maxwell-Gleichung.

Kontinuumslimit: ersetze $q \rightarrow \rho$

$$\vec{E}(\vec{r}) = \int_V d^3r' \rho(\vec{r}') \frac{\vec{r} - \vec{r}'}{|\vec{r} - \vec{r}'|^3} = - \int_V d^3r' \rho(\vec{r}') \nabla \frac{1}{|\vec{r} - \vec{r}'|}$$

$$= - \nabla \underbrace{\int_V d^3r' \frac{\rho(\vec{r}')}{|\vec{r} - \vec{r}'|}}_{=\phi(\vec{r})}$$

$$\rightarrow \boxed{\vec{E}(\vec{r}) = -\nabla\phi(\vec{r})}$$

$$\phi(\vec{r}) = \int_V d^3r' \frac{\rho(\vec{r}')}{|\vec{r} - \vec{r}'|}$$

und es gilt automatisch in diesem Fall:

$$\text{rot } \vec{E} = -\text{rot } \nabla\phi = 0; \quad (\text{rot } E)_i = \varepsilon_{ijk} \partial_j \partial_k \phi = 0$$

Substitution in das Gauß-Gesetz:

$$\text{div } \vec{E} = 4\pi\rho$$

$$\rightarrow \boxed{\Delta\phi = -4\pi\rho} \quad (\text{Poisson-Gleichung})$$

Falls keine Ladungen vorliegen, muss $\Delta\phi = 0$ gelten.

$$\phi(\vec{r}) = \frac{1}{|\vec{r} - \vec{r}'|}$$

Für Quelle mit $q = 1$ an der Stelle $\vec{r}' = \vec{0}$:

$$\Delta\phi = (\partial_x^2 + \partial_y^2 + \partial_z^2)\phi = \Delta \frac{1}{r} = \frac{1}{r} \frac{\partial^2}{\partial r^2} \left(r \frac{1}{r} \right) = 0$$

Kugelkoordinaten, Winkel fallen weg, da sie nicht in ϕ vorkommen

klar, bei \vec{r} ist die Ladung nicht, sondern bei $\vec{0}$

$$\int_V d^3r \Delta\phi = \int_V d^3r \nabla(\nabla\phi) = \int_{\partial V} d\vec{S} \nabla\phi$$

↓
Satz von Gauß

$$= \int r^2 d\Omega \underbrace{\frac{\partial\phi}{\partial r}}_{=-\frac{1}{r^2}} = - \int d\Omega = -4\pi$$

Zusammenfassung beider Fälle

$$\Delta \frac{1}{|\vec{r} - \vec{r}'|} = -4\pi \delta_D(\vec{r} - \vec{r}')$$

analog für Gravitation

$$\begin{aligned} \operatorname{div} \vec{g} &= 4\pi\rho \\ \Delta\phi &= 4\pi G\rho \end{aligned}$$

A.8. Dirac-Funktion δ_D

Elektrodynamik ist eine Kontinuumstheorie $\rightarrow \rho$ ist eine Ladungsdichte:

$$\int_V d^3r \rho = q \quad (\text{im Volumen } V)$$

$q\delta_D(\vec{r} - \vec{r}')$ repräsentiert eine Punktladung q an der Stelle \vec{r}' .

$$\begin{aligned} \rho(\vec{r}) &= \sum_i q_i \delta_D(\vec{r} - \vec{r}_i) \\ \phi(\vec{r}) &= \int d^3r' \frac{\rho(\vec{r}')}{|\vec{r} - \vec{r}'|} \end{aligned}$$

denn

$$\begin{aligned} \Delta\phi(\vec{r}) &= \int d^3r' \rho(\vec{r}') \Delta \frac{1}{|\vec{r} - \vec{r}'|} = \int d^3r' \rho(\vec{r}') (-4\pi) \delta_D(\vec{r} - \vec{r}') \\ \Delta\phi(\vec{r}) &= -4\pi\sigma(\vec{r}) \quad \text{Poisson-Gleichung} \end{aligned}$$

im diskreten Fall:

$$\begin{aligned} \phi(\vec{r}) &= \sum_i \frac{q_i}{|\vec{r} - \vec{r}_i|} \\ \Delta\phi(\vec{r}) &= \sum_i q_i \Delta \frac{1}{|\vec{r} - \vec{r}'|} = \sum_i q_i (-4\pi) \delta_D(\vec{r} - \vec{r}_i) \\ &= -4\pi \sum_i q_i \delta_D(\vec{r} - \vec{r}_i) = -4\pi\rho(\vec{r}) \end{aligned}$$

A.9. potenzielle Energie und das elektrostatische Potenzial

Achtung

! bitte seid super vorsichtig mit Energieinterpretationen von allem, was mit Relativität zutun hat!

Coulomb-Kraft \vec{F} :

$$\vec{F}(\vec{r}) = q\vec{E}(\vec{r})$$

Verschiebearbeit W :

$$\begin{aligned} W &= \int_A^B d\vec{r} \cdot \vec{F} = -q \int_A^B d\vec{r} \cdot \vec{E} = q \int_A^B d\vec{r} \cdot \underbrace{\vec{E}}_{\vec{E} = -\nabla\phi} \\ &= q \int_A^B d\vec{r} \cdot \underbrace{\vec{E}}_{\vec{E} = -\nabla\phi} = -q \int_A^B d\vec{r} \cdot \nabla\phi = -q \int_A^B \frac{\partial\phi}{\partial\vec{r}} d\vec{r} \end{aligned}$$

mit $d\vec{r} \cdot \frac{\partial}{\partial \vec{r}} \phi = d\phi$ (totales Differenzial)

$$W = q \int_A^B d\phi = q(\phi(B) - \phi(A))$$

- Potentialdifferenz entspricht der Verschiebearbeit pro Ladung
- Verschiebung muss extrem langsam erfolgen, dass $E \rightarrow B$ nicht transformiert (Lorentz!)

A.10. Eigenschaften der δ_D -Funktion

Normierung

$$\int d^n x \delta_D(x) = 1$$

Lokalisierung

$$\int d^n x g(x) \delta_D(x - y) = g(y)$$

$$\int_a^b dx \delta_D(x - c) = \begin{cases} 1 & a \leq c \leq b \\ 0 & \text{sonst} \end{cases}$$

Durch Substitution

$$\int dx \delta_D(ax) = \frac{1}{a}$$

Durch partielle Integration

$$\int dx g(x) \delta'_D(x - a) = g(x) \delta_D(x - a) \Big|_{-\infty}^{+\infty} - \int dx g'(x) \delta_D(x - a)$$

$$= 0 - g'(a)$$

A.11. Feldänderung an einer Oberfläche

Betrachte Oberfläche mit Oberflächenladung σ

$$\sigma = \lim_{\Delta S \rightarrow 0} \frac{\Delta q}{\Delta S}$$

wie wird ein elektrisches Feld durch diese Oberfläche beeinflusst? (vor Oberfläche: \vec{E}_1 , nach Oberfläche \vec{E}_2)
Dazu wählen Zylinder mit den Mantelflächen parallel zur Oberfläche und Volumen ΔV und, dass der elektrische Fluss durch die Seitenwände sehr klein ist und nicht zum Integral beiträgt.

$$\int_{\Delta V} d^3 r' \operatorname{div} \vec{E} = \int_{\Delta S} d\vec{S} \cdot \vec{E} = 4\pi q = 4\pi \overbrace{\int_{\partial V} d\vec{S} \sigma}^{\Delta S \cdot \sigma} = \Delta S (E_2^\perp - E_1^\perp)$$

Gauß

$$\implies E_2^\perp = E_1^\perp + 4\pi\sigma$$

Wenn das Feld tangential zur Oberfläche ist, kann man stattdessen eine Schleife wählen und den Satz von Stokes benutzen:

$$\int_{\partial} d\vec{r} \vec{E} \tau \int_S d\vec{S} \operatorname{rot} \vec{E} = (E_2^\parallel - E_1^\parallel) \Delta r \rightarrow E_2^\parallel = E_1^\parallel$$

Stokes

Außerdem: $\vec{E} = -\nabla\phi \implies \operatorname{rot} \vec{E} = -\operatorname{rot} \nabla\phi = 0$.

A.12. Energie einer statischen Ladungsverteilung

! Achtung

Energie + Relativitätstheorie: supervorsichtig!

1. q_1 an einer Stelle $\vec{r}_1 \rightarrow$ Potential $\phi_1 = \frac{q_1}{|\vec{r} - \vec{r}_1|}$
2. q_2 an einer Stelle $\vec{r}_2 \rightarrow W_2 = q_2 \cdot \phi_1(\vec{r}_2)$
3. q_3 an einer Stelle $\vec{r}_3 \rightarrow W_3 = q_3 \cdot (\phi_1(\vec{r}_2) + \phi_2(\vec{r}_3))$ Man erkennt
- \vdots
- n. q_n an einer Stelle $\vec{r}_n \rightarrow W_n = q_n \cdot \sum_i^{n-1} \phi_i(\vec{r}_n)$

$$W = \sum_n^N W_n = \sum_n^N q_n \sum_i^{n-1} \phi_i(\vec{r}_n)$$

$$W = \sum_n^N q_n \sum_i^{n-1} \frac{q_i}{|\vec{r}_1 - \vec{r}_n|} = \frac{1}{2} \sum_n^N \sum_{\substack{i \\ i \neq n}}^N \frac{q_i q_n}{|\vec{r}_1 - \vec{r}_n|}$$

Korrektur der doppelten Zählung

Kontinuums-Limes

$$\sum_i q_i \rightarrow \int d^3 r' \rho(\vec{r}')$$

$$W = \frac{1}{2} \int d^3 r \int d^3 r' \frac{\rho(\vec{r}) \rho(\vec{r}')}{|\vec{r} - \vec{r}'|} = \frac{1}{2} \int d^3 r \rho(\vec{r}) \underbrace{\int d^3 r' \frac{\rho(\vec{r}')}{|\vec{r} - \vec{r}'|}}_{=\phi(\vec{r})}$$

$$= \frac{1}{2} \int d^3 r \rho(\vec{r}) \phi(\vec{r})$$

$$W \downarrow = -\frac{1}{8\pi} \int d^3 r \Delta \phi \phi = -\frac{1}{8\pi} \int d^3 r \phi \Delta \phi$$

Poisson-Gleichung $\Delta \phi = -4\pi \rho$

Es gilt: $\phi \Delta \phi = \phi \nabla \cdot (\nabla \phi) = \nabla \cdot (\phi \nabla \phi) - \nabla \phi \nabla \phi$

$$W = -\frac{1}{8\pi} \int d^3 r \nabla \cdot (\phi \nabla \phi) + \frac{1}{8\pi} \int d^3 r (\nabla \phi)^2$$

$$= -\frac{1}{8\pi} \int d\vec{S} \cdot (\phi \nabla \phi) + \frac{1}{8\pi} \int d^3 r \underbrace{(\nabla \phi)^2}_{\vec{E} = -\nabla \phi}$$

Satz von Gauß: $\int d\vec{S} \cdot (\phi \nabla \phi) = 0$ für große Volumen, da typischerweise $\phi \sim 1/r$, $\nabla \phi \sim 1/r^2 \implies \phi \nabla \phi \sim 1/r^3$, aber $d\vec{S} \sim r^2$

$$W = \frac{1}{8\pi} \int d^3 r E^2$$

Energiedichte des elektrischen Felds:

$$\rho_{el} = \frac{\vec{E}^2}{8\pi}$$

 **Achtung**

| Selbstenergie für $\vec{r}' = \vec{r}$ - keine Lösung in der klassischen Elektrodynamik.

Teil B.
Potentialtheorie

Lösungen der Poisson-Gleichung $\Delta\phi = -4\pi\rho$. 3 Probleme

1. Inversion des Differenzialoperators \rightarrow Green-Funktion
2. Geometrie der Ladungsverteilung \rightarrow Multipolentwicklung
3. Randbedingungen \rightarrow Green-Theorie

B.1. Green-Theoreme

Es gilt für $\vec{A}(\vec{r}) = \varphi\nabla\psi$

$$\operatorname{div} \vec{A} - \operatorname{div}(\varphi\nabla\psi) = \nabla\varphi\nabla\psi + \varphi\Delta\psi$$

Satz von Gauß:

$$\int_V d^3 \operatorname{div} \vec{A} = \int_{\partial V} d\vec{S} \vec{A}$$

$\vec{S} = dS\vec{n}$, $\vec{n} \sim$ Normalenvektor

$$\int_V d^3 r' (\nabla' \varphi \nabla' \psi + \varphi \Delta' \psi) = \int_{\partial V} dS \varphi \nabla' \psi \cdot \vec{n} = \int_{\partial V} dS \varphi \frac{\partial \psi}{\partial n} \quad \text{Erste greensche Identität}$$

$\varphi \rightleftharpoons \psi$ und Subtraktion der Gleichungen

$$\int_V d^3 r' (\varphi \Delta' \psi - \psi \Delta' \varphi) = \int_{\partial V} dS \left(\varphi \frac{\partial \psi}{\partial n} - \psi \frac{\partial \varphi}{\partial n} \right) \quad \text{Zweite greensche Identität}$$

Wahl der Funktionen

$$\begin{aligned} \psi &= \frac{1}{|\vec{r} - \vec{r}'|} \\ \varphi &= \phi(\vec{r}') && \text{elektrostatistisches Potential} \\ \implies \Delta' \psi &= \Delta' \frac{1}{|\vec{r} - \vec{r}'|} = -4\pi \delta_D(\vec{r} - \vec{r}') \\ \Delta' \varphi &= \Delta \phi = -4\pi \rho(\vec{r}') - 4\pi \int_V d^3 r' \phi(\vec{r}) \delta(\vec{r} - \vec{r}') + 4\pi \int_V d^3 r' \frac{\rho(\vec{r}')}{|\vec{r} - \vec{r}'|} \\ &= \int_{\partial V} dS' \phi(\vec{r}') \frac{\partial}{\partial n'} \frac{1}{|\vec{r} - \vec{r}'|} - \frac{1}{|\vec{r} - \vec{r}'|} \frac{\partial}{\partial n'} \phi(\vec{r}') \end{aligned}$$

Falls \vec{r} innerhalb von V liegt:

$$\int_V d^3 r' \phi(\vec{r}') \delta_D(\vec{r} - \vec{r}') = \phi(\vec{r})$$

$$\implies \phi(\vec{r}) = \underbrace{\int_V d^3 r' \frac{\rho(\vec{r}')}{|\vec{r} - \vec{r}'|}}_{\text{Potential aus der Ladungsverteilung}} + \frac{1}{4\pi} \int_{\partial V} dS' \left(\overbrace{\frac{1}{|\vec{r} - \vec{r}'|} \frac{\partial}{\partial n'} \phi}^{\text{Neumann-Randbedingungen } \frac{\partial \phi}{\partial n} \text{ auf } \partial V} - \underbrace{\phi(\vec{r}') \frac{\partial}{\partial n'} \frac{1}{|\vec{r} - \vec{r}'|}}_{\text{Dirichlet-Randbedingung } \phi \text{ auf } \partial V} \right)$$

∂V unendlich weit weg:

$$\frac{1}{|\vec{r} - \vec{r}'|} \frac{\partial}{\partial n} \phi \sim \frac{1}{r^3} \rightarrow 0$$

$$\phi \frac{\partial}{\partial n} \frac{1}{|\vec{r} - \vec{r}'|} \sim \frac{1}{r^3} \rightarrow 0$$

\implies nur der erste Term bleibt übrig:

$$\phi(\vec{r}) = \int_V d^3r' \frac{\rho(\vec{r}')}{|\vec{r} - \vec{r}'|}$$

$\rho(\vec{r}) = 0$ innerhalb von V : ϕ bestimmt durch ϕ und $\frac{\partial \phi}{\partial n}$ auf der Oberfläche ∂V .

B.2. Eindeutigkeit des Potentials

Satz B.2.1 Potential ϕ ist eindeutig mit der Vorgabe von Dirichlet **oder** Neumann-Randbedingungen.

Beweis Annahme für Widerspruchsbeweis: 2 Potentiale $\phi_1(\vec{r})$ und $\phi_2(\vec{r})$, beide Lösungen der Poisson-Gleichung:

$$\left. \begin{array}{l} \Delta \phi_1 = -4\pi\rho \\ \Delta \phi_2 = -4\pi\rho \end{array} \right\} \Delta \underbrace{(\phi_1 - \phi_2)}_U = 0$$

Randbedingungen:

$$\phi_1|_{\partial V} = \phi_2|_{\partial V}$$

$$\frac{\partial \phi_1}{\partial n}|_{\partial V} = \frac{\partial \phi_2}{\partial n}|_{\partial V}$$

1 Green-Theorem mit $U = \phi_1 - \phi_2$ und $\varphi = \psi = U$

$$\int_V d^3r' \underbrace{(U \Delta' U)}_{=0} + (\nabla' U)^2 = \int_{\partial V} dS U \frac{\partial U}{\partial n}$$

wenn $n = 0$ (Dirichlet) oder $\frac{\partial U}{\partial n}$ (Neumann)

$$\int_{\partial V} dS U \frac{\partial U}{\partial n} = 0$$

$$\implies \int_V d^3r' (\nabla' U)^2 = 0$$

$\implies U$ ist konstant in V , $\phi_1 = \phi_2 + \text{const.}$. Die Potentiale unterscheiden sich nur um eine additive Konstante. \square

B.3. Green-Funktion \rightarrow Potential einer Punktladung

Potential einer Punktladung:

$$\Delta \underbrace{\frac{1}{|\vec{r} - \vec{r}'|}}_{\text{Green-Funktion von } \Delta} = -4\pi\delta_D(\vec{r} - \vec{r}')$$

Verallgemeinerung:

$$\Delta G(\vec{r}, \vec{r}') = -4\pi\delta_D(\vec{r} - \vec{r}')$$

$$\text{mit } G(\vec{r}, \vec{r}') = \frac{1}{|\vec{r} - \vec{r}'|} + \underbrace{F(\vec{r}, \vec{r}')}_{\Delta F(\vec{r}, \vec{r}')=0}$$

$F(\vec{r}, \vec{r}')$ erfüllt die Vakuum-Feldgleichung $\Delta F = 0 \rightarrow F$ kann benutzt werden, um Randbedingungen zu erfüllen. "Spiegelladungen", Superpositionsprinzip (Elektrodynamik ist linear)

$$\Delta G(\vec{r}, \vec{r}') = \Delta \frac{1}{|\vec{r} - \vec{r}'|} = -4\pi\delta_D(\vec{r} - \vec{r}')$$

$$\Rightarrow \int d^3r' \Delta G(\vec{r}, \vec{r}') \rho(\vec{r}') = \Delta \int d^3r' G(\vec{r}, \vec{r}') \rho(\vec{r}')$$

$$= \Delta \int d^3r' \frac{\rho(\vec{r}')}{|\vec{r} - \vec{r}'|}$$

$$= \Delta \phi = -4\pi \int d^3r' \delta_D(\vec{r} - \vec{r}') \rho(\vec{r}')$$

$$= -4\pi \rho(\vec{r})$$

$$\Rightarrow \phi = \int d^3r' \frac{\rho(\vec{r}')}{|\vec{r} - \vec{r}'|} \text{ invertiert } \Delta \phi = -4\pi \rho$$

Konstruktion von Green-Funktionen im Fourier-Raum

$$\Delta \phi(\vec{r}) = -4\pi \rho(\vec{r}) \rightarrow \text{Fourier-Transformation (Poisson-Gleichung ist linear)}$$

$$\Delta \phi(\vec{r}) = \Delta \int d^3k \phi(\vec{k}) \exp(i\vec{k}\vec{r}) = \int d^3k \phi(\vec{k}) \Delta \exp(i\vec{k}\vec{r})$$

$$= \int d^3k \phi(\vec{k}) (i\vec{k})^2 \exp(i\vec{k}\vec{r}) = -4\pi \int d^3k \rho(\vec{k}) \exp(i\vec{k}\vec{r})$$

$$\Rightarrow (i\vec{k})^2 \phi(\vec{k}) = -k^2 \phi(\vec{k}) = -4\pi \rho(\vec{k})$$

$$\Rightarrow \phi(\vec{k}) = \frac{4\pi}{k^2} \rho(\vec{k})$$

$$\begin{array}{ccc} \rho(\vec{k}) & \xrightarrow{-\frac{1}{k^2}} & \phi(\vec{k}) \\ \mathcal{F} \uparrow & & \downarrow \mathcal{F}^{-1} \\ \rho(\vec{r}) & \xleftarrow{\Delta} & \phi(\vec{r}) \end{array}$$

für numerische Berechnungen ist es extrem vorteilhaft, die Fourier-Methode zu benutzen → „Fast-Fourier-Transform (FFT)“.

Faltung der Ladungsverteilung mit der Green-Funktion → Multiplikation im Fourier-Raum.

$$\phi(\vec{r}) = \int d^3r' G(\vec{r}, \vec{r}') \rho(\vec{r}') \rightarrow \phi(\vec{k}) = G(\vec{k}) \rho(\vec{k})$$

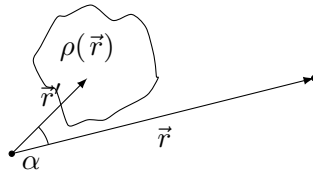
$$\begin{array}{ccc} & \downarrow & \downarrow \\ & \frac{1}{|\vec{r} - \vec{r}'|} \text{ für } \Delta & -\frac{1}{k^2} \end{array}$$

Bestimmung von Green-Funktionen aus dem Differenzialoperator.

$$\begin{aligned}\Delta G(\vec{r}, \vec{r}') &= -4\pi\delta(\vec{r} - \vec{r}') \rightarrow \text{Fourier-Transformation} \\ \Delta G(\vec{r}, \vec{r}') &= \int d^3k G(k) \underbrace{\Delta \exp(i\vec{k}(\vec{r} - \vec{r}'))}_{=(i\vec{k})^2 = -k^2 \rightarrow G(k) = -\frac{1}{k^2}} = 4\pi \int d^3k \exp(i\vec{k}(\vec{r} - \vec{r}')) \\ G(\vec{r}, \vec{r}') &= \int d^3k G(k) \exp(i\vec{k}\vec{r}) \int d^3k \left(-\frac{1}{k^2}\right) \exp(i\vec{k}\vec{r}') \text{ mit } \vec{r}' = \vec{0} \\ &= \int k^2 dk \int \sin\theta d\theta \int d\varphi \frac{1}{k^2} \exp(ikr \cos\theta) = 2\pi \int dk \int_{-1}^{+1} d\mu \exp(ikr\mu) \\ &= 2\pi \int dk \operatorname{sinc}(kr) = \frac{2\pi}{r} \int dy \operatorname{sinc}(y) \\ &= \frac{1}{r}\end{aligned}$$

B.4. Multipolentwicklung

Idee: Von „weit weg“ sieht man nur sphärische Ladungsverteilung. Also zerlege Potenzial in sphärischen Anteil und kleine Korrekturen.



$$\begin{aligned}\phi(\vec{r}) &= \int d^3r' \frac{\rho(\vec{r}')}{|\vec{r} - \vec{r}'|} \\ \frac{1}{|\vec{r} - \vec{r}'|} &= \frac{1}{\sqrt{r^2 - 2rr' \cos\alpha + r'^2}}\end{aligned}$$

mit $\mu \cos\alpha$:

$$\begin{aligned}\text{Annahme } r > r', \vec{r} \text{ ist weit weg von der Ladungsverteilung an } \vec{r}' \\ &= \frac{1}{r} \frac{1}{\sqrt{1 - 2\frac{r'}{r}\mu + \left(\frac{r'}{r}\right)^2}} \stackrel{\uparrow}{=} \frac{1}{r} \left(\mathcal{P}_0(\mu) + \frac{r'}{r} \mathcal{P}_1(\mu) + \left(\frac{r'}{r}\right)^2 \mathcal{P}_2(\mu) + \dots \right) \\ &= \sum_{l=0}^{\infty} \frac{r'^{l+1}}{r^{l+1}} \mathcal{P}_l(\mu)\end{aligned}$$

$\mathcal{P}_l \sim$ Legendre Polynome, erzeugende Funktion:

$$\frac{1}{\sqrt{1 - 2zx + z^2}} = \sum_l \mathcal{P}_l(x) z^l = \mathcal{P}_0(x) + \mathcal{P}_1(x)z + \mathcal{P}_2(x)z^2 + \dots$$

Durch sukzessives Differenzieren kann man durch auswerten an $z = 0$ die \mathcal{P}_l bestimmen:

$$\begin{aligned} \Rightarrow \mathcal{P}_l(\mu) &= \frac{1}{2^l l!} \frac{d^l}{d\mu^l} (\mu^2 - 1)^l && \text{Formel von Rodrigues} \\ \mathcal{P}_0(\mu) &= 1 \\ \mathcal{P}_1(\mu) &= \mu \\ \mathcal{P}_2(\mu) &= \frac{1}{2} (3\mu^2 - 1) \\ \mathcal{P}_3(\mu) &= \frac{1}{2} (5\mu^3 - 3\mu) \end{aligned}$$

Legendre Polynome sind ein Satz orthogonaler Polynome:

$$\int_{-1}^{+1} d\mu \mathcal{P}_l(\mu) \mathcal{P}_l'(\mu) = \frac{2}{2l+1} \delta_{ll'}$$

Additionstheorem: Y_{lm} : sphärische-harmonische Funktionen

$$\begin{aligned} \mathcal{P}_l(\mu) &= \frac{4\pi}{2l+1} \sum_{m=-l}^l Y_{lm}(\theta, \varphi) Y_{lm}^*(\theta', \varphi') \\ \frac{1}{|\vec{r} - \vec{r}'|} &= \sum_l \sum_{m=-l}^l \frac{4\pi}{2l+1} \frac{r'^l}{r^{l+1}} Y_{lm}(\theta, \varphi) Y_{lm}^*(\theta', \varphi') \\ \phi(\vec{r}) &= \int d^3 r' \frac{\rho(\vec{r}')}{|\vec{r} - \vec{r}'|} \\ \Rightarrow \phi(\vec{r}) \int d^3 r' \frac{\rho(\vec{r}')}{|\vec{r} - \vec{r}'|} &= \sum_{l=0}^{\infty} \sum_{m=-l}^l \frac{4\pi}{2l+1} \frac{1}{r^{l+1}} Y_{lm}(\theta, \varphi) \underbrace{\int d^3 r' \rho(\vec{r}') r'^l Y_{lm}^*(\theta', \varphi')}_{q_{lm}} \end{aligned}$$

q_{lm} : Multipol-Moment

Beitrag von q_{lm} zu ϕ ist $\propto \frac{1}{r^{l+1}} \Rightarrow$ höhere Multipolmomente haben Beiträge nur auf kleinen Skalen.

- Monopol: $l = 0 \Rightarrow 1$ Zahl, $m = 0$

$$q_{00} = \int d^3 r' \rho(\vec{r}') r'^0 Y_{00}(\theta', \varphi') = \frac{1}{\sqrt{4\pi}} \int d^3 r' \rho(\vec{r}') = \frac{Q}{\sqrt{4\pi}}$$

- Dipol $l = 1 \Rightarrow 3$ Zahlen, $m = -1, 0, +1$
- Oktupol $l = 2 \Rightarrow 5$ Zahlen, $m = -2, -1, 0, +1, +2$
- Hexadekupol $l = 3 \Rightarrow 7$ Zahlen, $m = -3, -2, -1, 0, +1, +2, +3$
- -Multipol $\Rightarrow 2l + 1$ Zahlen, von $-l$ bis l

Hermitizität:

$$Y_{lm}^* = (-1)^m Y_{l,-m}$$

$$\begin{aligned} \Rightarrow q_{lm}^* &= \int d^3 r' \rho(\vec{r}') r'^l Y_{lm}^*(\theta', \varphi') = (-1)^m \int d^3 r' \rho(\vec{r}') Y_{l,-m}(\theta', \varphi') \\ q_{lm}^* &= (-1)^m q_{l,-m} \end{aligned}$$

Ladungsverteilung $\rho(\vec{r})$ ist reell \Rightarrow nur $l + 1$ unabhängige Momente.

B.5. sphärisch-harmonische Funktionen

Lineares Funktionensystem auf der Kugel (θ, φ) nach dem alle skalaren Funktionen entwickelt werden können.

$$Y_{lm}(\theta, \varphi) = \sqrt{\frac{2l+1}{4\pi}} \sqrt{\frac{(l-m)!}{(l+m)!}} \mathcal{P}_{lm}(\cos \theta) e^{im\varphi}$$

$$Y_{00}(\theta, \varphi) = \frac{1}{\sqrt{4\pi}} \implies \phi(\vec{r}) = \frac{Q}{r}, Q = q_{00}, l = m = 0$$

$$Y_{10}(\theta, \varphi) = \sqrt{\frac{3}{4\pi}} \cos \theta$$

$$Y_{11}(\theta, \varphi) = \sqrt{\frac{3}{8\pi}} \sin \theta e^{i\varphi}$$

$\mathcal{P}_{lm}(\cos \theta)$: assoziierte Legendre Polynome

$$\mathcal{P}_{lm}(\mu) = (-1)^m (1-\mu^2)^{\frac{m}{2}} \frac{d^m}{d\mu^m} \mathcal{P}_l(\mu)$$

$$\mathcal{P}_{lm}(\mu) = \frac{(-1)^m}{2^l l!} (1-\mu^2)^{m/2} \frac{d^{l+m}}{d\mu^{l+m}} (\mu^2 - 1)^l$$

$$\int_{-1}^{+1} d\mu \mathcal{P}_{lm}(\mu) \mathcal{P}_{l'm'}(\mu) = \frac{2}{2l+1} \frac{(l+m)!}{(l-m)!} \delta_{ll'} \delta_{mm'}$$

\implies sphärisch harmonische Funktionen

$$\int_0^{2\pi} d\varphi \int_0^\pi \sin \theta d\theta Y_{lm}(\theta, \varphi) Y_{l'm'}^*(\theta, \varphi) = \delta_{ll'} \delta_{mm'} \quad (\text{Orthogonalität})$$

$$\sum_{l=0}^{\infty} \sum_{m=-l}^{+l} Y_{lm}(\theta, \varphi) Y_{lm}^*(\theta', \varphi') = \delta_D(\varphi - \varphi') \underbrace{\delta_D(\cos \theta - \cos \theta')}_{=\delta_D(\theta - \theta')}$$

$$\mathcal{P}_l(\cos \alpha) = \frac{4\pi}{2l+1} \sum_{m=-l}^{+l} Y_{lm}^*(\theta, \varphi) Y_{lm}(\theta', \varphi')$$

in kartesischen Koordinaten:

$$q_{10} = \int d^3 r' \rho(\vec{r}') r' Y_{10}(\theta', \varphi') = \int d^3 r' \rho(\vec{r}') r' \frac{3}{4\pi} \cos \theta$$

$$q_{11} = \int d^3 r' \rho(\vec{r}') r' Y_{11}(\theta', \varphi') = \int d^3 r' \rho(\vec{r}') r' \frac{3}{8\pi} \sin \theta (\cos \varphi + i \sin \varphi)$$

intuitives System, Dipolmoment $\vec{p} = q \vec{a}$

$$\rho(\vec{r}) = q \left(\delta_D \left(\vec{r} - \frac{1}{2} \vec{a} \right) - \delta_D \left(\vec{r} + \frac{1}{2} \vec{a} \right) \right)$$

$$\vec{p} = \int d^3 r' \rho(\vec{r}') \vec{r}' = q \int d^3 r' \left(\delta_D \left(\vec{r}' - \frac{\vec{a}}{2} \right) - \delta_D \left(\vec{r}' + \frac{\vec{a}}{2} \right) \right) \vec{r}' = q \vec{a}$$

(Dipolmoment)

$$q_{10} = \int d^3 r' \delta(\vec{r}') \sqrt{\frac{3}{4\pi}} r' \cos \theta' = \sqrt{\frac{3}{4\pi}} p_z$$

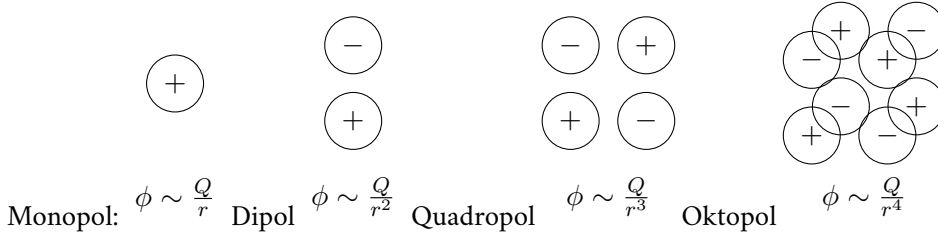
$$q_{11} = \int d^3 r' \delta(\vec{r}') \sqrt{\frac{3}{8\pi}} r' \sin \theta' (\cos \varphi' + i \sin \varphi') = \sqrt{\frac{3}{8\pi}} (p_x + i p_y)$$

Quadrupolmomente ($l = 2$)

$$q_{20} = \int d^3r' \rho(\vec{r}') r'^2 \sqrt{\frac{5}{4\pi}} \left(\frac{3}{2} \cos^2 \theta' - \frac{1}{2} \right)$$

$$q_{21} = - \int d^3r' \rho(\vec{r}') r'^2 \sqrt{\frac{15}{8\pi}} \sin \theta \cos \theta e^{i\varphi}$$

$$q_{22} = \int d^3r' \rho(\vec{r}') r'^2 \frac{1}{4} \sqrt{\frac{15}{2\pi}} \sin^2 \theta e^{2i\varphi}$$



B.6. Alternativer Zugang zur Multipolentwicklung → Taylor-Reihe in kartesischen Koordinaten

Green-Funktion

$$G(\vec{r}') = \frac{1}{|\vec{r} - \vec{r}'|}$$

Taylorentwicklung bei $\vec{r}' = 0$

$$G(\vec{r}') = G(\vec{r}' = \vec{0}) + \sum_i \frac{\partial G}{\partial x'_i} \Big|_{\vec{r}'=\vec{0}} \cdot x'_i + \frac{1}{2!} \sum_{ij} \frac{\partial^2 G}{\partial x'_i \partial x'_j} \Big|_{\vec{r}'=\vec{0}} \cdot x'_i x'_j + \dots$$

$$= \sum_n \frac{1}{n!} \left(\sum_i x'_i \frac{\partial}{\partial x'_i} \right)^n G \Big|_{\vec{r}'=\vec{0}} = \sum_n \frac{1}{n!} \cdot (\vec{r}' \nabla')^n G \Big|_{\vec{r}'=\vec{0}}$$

$$G(\vec{r}') = \frac{1}{|\vec{r} - \vec{r}'|} = \left[\sum_i (x_i - x'_i)^2 \right]^{-1/2}$$

$$G(\vec{r}') \Big|_{\vec{r}'=\vec{0}} = \frac{1}{r}$$

$$\frac{\partial}{\partial x'_i} G(\vec{r}') \Big|_{\vec{r}'=\vec{0}} = \frac{x_i}{r^3}$$

$$\frac{\partial^2}{\partial x'_i \partial x'_j} G(\vec{r}') \Big|_{\vec{r}'=\vec{0}} = \frac{3x_i x_j - r^2 \delta_{ij}}{r^5}$$

$$\phi(\vec{r}) = \int d^3r' \rho(\vec{r}') G(\vec{r}, \vec{r}')$$

$$= \int d^3r' \rho(\vec{r}') \left(\frac{1}{r} + \sum_i \frac{x_i x'_i}{r^3} + \frac{1}{2} \sum_{ij} \frac{3x_i x_j - r^2 \delta_{ij}}{r^5} x'_i x'_j + \dots \right)$$

$$= \frac{1}{r} \int d^3r' \rho(\vec{r}') + \sum_i \frac{x_i}{r^3} \int d^3r' \rho(\vec{r}') x'_i + \frac{1}{2} \sum_{ij} \int d^3r' \rho(\vec{r}') \frac{3x_i x_j - r^2 \delta_{ij}}{r^5} x'_i x'_j + \dots$$

Umschreiben des Quadrupolterms

Quadrupolterm $\times 3$:

$$\begin{aligned}
&= \sum_{ij} \frac{3x_i x_j - r^2 \delta_{ij}}{r^5} \int d^3 r' \rho(\vec{r}') \underbrace{3x'_i x'_j - r'^2 \delta_{ij} + r'^2 \delta_{ij}}_{=0} \\
&= \sum_{ij} \frac{3x_i x_j - r^2 \delta_{ij}}{r^5} \left(\int \underbrace{d^3 r' \rho(\vec{r}') (3x'_i x'_j - r'^2 \delta_{ij})}_{Q_{ij}} + \int d^3 r' \rho(\vec{r}') r'^2 \delta_{ij} \right)
\end{aligned}$$

2. Term verschwindet:

$$\begin{aligned}
\sum_{ij} \frac{3x_i x_j - r^2 \delta_{ij}}{r^5} \delta_{ij} &= 0 \\
\textcircled{1} \quad \sum_{ij} x_i x_j \delta_{ij} &= \sum_i x_i^2 = r^2 \\
\textcircled{2} \quad \sum_{ij} \delta_{ij} \delta_{ij} &= \sum_i \delta_{ii} = 3
\end{aligned}$$

$$\Rightarrow \phi(\vec{r}) = \frac{Q}{r} + \frac{\vec{r} \vec{p}}{r^3} + \frac{1}{6} \sum_{ij} Q_{ij} \frac{3x_i x_j - r^2 \delta_{ij}}{r^5} + \dots$$

$Q_{ij} = Q_{ji} \Rightarrow$ symmetrische Matrix \Rightarrow 6 Einträge! Aber: in sphärischen Koordinaten: $q_{-2,-2}, q_{2,-1}, q_{2,0}, q_{2,1}, q_{22}$ \Rightarrow 5 Einträge. Es gilt: Q_{ij} ist spurfrei:

$$\begin{aligned}
\sum_i Q_{ij} &= \sum_i \int d^3 r' \rho(\vec{r}') (3x'_i x'_i - r'^2 \delta_{ij}) \\
&= \int d^3 r' \rho(\vec{r}') \left(3 \sum_i x_i'^2 - r'^2 \sum_i \delta_{ii} \right) = 0
\end{aligned}$$

B.7. Wechselwirkung einer Ladungsverteilung mit einem externen Feld

$$W = \int d^3r \rho(\vec{r}) \phi(\vec{r})$$

Subtraktion von $\Delta\phi = 0$, weil die felderzeugende Ladung woanders ist!

$$\phi(\vec{r}) = \phi(\vec{r}=0) + \sum_i x_i \frac{\partial\phi}{\partial x_i} \Big|_{\vec{r}=\vec{0}} + \frac{1}{2} \sum_{ij} x_i x_j \frac{\partial^2\phi}{\partial x_i \partial x_j} + \dots$$

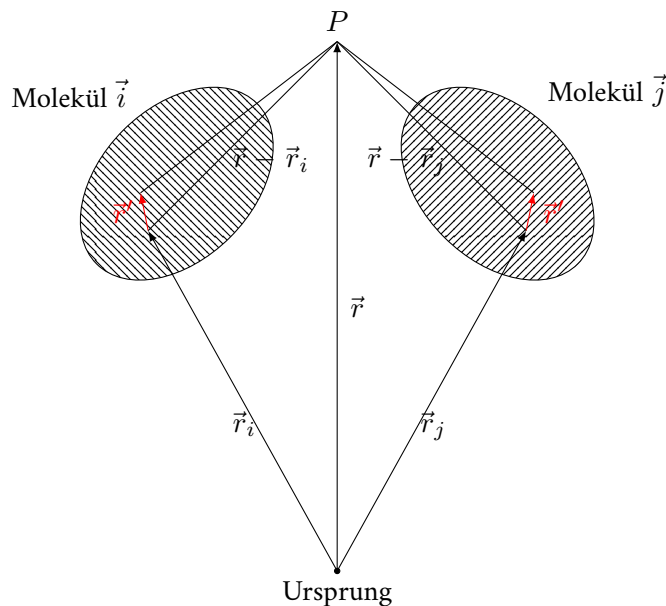
$$\Delta\phi = \sum_i \frac{\partial^2}{\partial x_i^2} \phi = \sum_{ij} \delta_{ij} \frac{\partial^2}{\partial x_i \partial x_j} \phi$$

$$\phi(\vec{r}) = \phi(\vec{r}=0) + \sum_i x_i \frac{\partial\phi}{\partial x_i} \Big|_{\vec{r}=\vec{0}} + \frac{1}{3!} \sum_{ij} (3x_i x_j - r^2 \delta_{ij}) \frac{\partial^2\phi}{\partial x_i \partial x_j} \Big|_{\vec{r}=\vec{0}} + \dots$$

$$\begin{aligned} W &= \underbrace{\int d^3r \rho(r) \phi(\vec{r}=0)}_Q + \sum_i \underbrace{\int d^3r \rho(r) x_i}_{p_i} \frac{\partial\phi}{\partial x_i} \Big|_{\vec{r}=\vec{0}} + \frac{1}{3!} \sum_{ij} \underbrace{\int d^3r \rho(r) (3x_i x_j - r^2 \delta_{ij})}_{Q_{ij}} \frac{\partial^2\phi}{\partial x_i \partial x_j} \Big|_{\vec{r}=\vec{0}} + \dots \\ &= q\phi(\vec{r}=0) + \vec{p} \nabla \phi \Big|_{\vec{r}=\vec{0}} + \sum_{ij} Q_{ij} \frac{\partial^2\phi}{\partial x_i \partial x_j} \Big|_{\vec{r}=\vec{0}} + \dots \end{aligned}$$

l Multipol wechselwirkt mit der l -fachen Ableitung von ϕ .

B.8. Polarisation und Modelle für Dielektrika



Feld \vec{E}_j an der Stelle \vec{r} , hervorgerufen durch Molekül j

$$\vec{E}_j(\vec{r}) = \int d^3r' \rho_j(\vec{r}') \frac{\vec{r} - \vec{r}_j - \vec{r}'}{|\vec{r} - \vec{r}_j - \vec{r}'|^3} = -\nabla \int d^3r' \frac{\rho(\vec{r}')}{|\vec{r} - \vec{r}_j - \vec{r}'|}$$

Multipolentwicklung

$$\begin{aligned} \frac{1}{|\vec{r} - \vec{r}'_j - \vec{r}'|} &= \frac{1}{|\vec{r} - \vec{r}'_j|} + (\vec{r}' \nabla_j) \frac{1}{|\vec{r} - \vec{r}'_j|} + \frac{1}{2} (\vec{r}' \nabla_j)^2 \frac{1}{|\vec{r} - \vec{r}'_j|} + \dots \\ \Rightarrow \vec{E}_j(\vec{r}) &= -\nabla \left(\int d^3 r' \frac{\rho_j(\vec{r}')}{|\vec{r} - \vec{r}'_j|} + \int d^3 r' \rho_j(\vec{r}') \vec{r}' \nabla_j \frac{1}{|\vec{r} - \vec{r}'_j|} + \dots \right) \\ &= -\nabla \left(\frac{q_j}{|\vec{r} - \vec{r}'_j|} + \vec{p}_j \nabla_j \frac{1}{|\vec{r} - \vec{r}'_j|} + \dots \right) \end{aligned}$$

Ladungsdichte:

$$\rho(\vec{r}) = \sum_j q_j \delta_D(\vec{r} - \vec{r}'_j)$$

Polarisationsdichte:

$$\vec{\pi}(\vec{r}) = \sum_j \vec{p}_j \delta_D(\vec{r} - \vec{r}'_j)$$

Summation der Felder zum Kontinuums-Limes:

$$\begin{aligned} \vec{E}(\vec{r}) &= \sum_j \vec{E}_j(\vec{r}) = -\nabla \left(\sum_j \frac{q_j}{|\vec{r} - \vec{r}'_j|} + \vec{p}_j \nabla_j \frac{1}{|\vec{r} - \vec{r}'_j|} \right) \\ &= -\nabla \left(\int d^3 r' \frac{\rho(\vec{r}')}{|\vec{r} - \vec{r}'|} + \vec{\pi}(\vec{r}') \nabla' \frac{1}{|\vec{r} - \vec{r}'|} \right) \\ \text{div } \vec{E} &= -\Delta \left(\int d^3 r' \frac{\rho(\vec{r}')}{|\vec{r} - \vec{r}'|} + \vec{\pi}(\vec{r}') \nabla' \frac{1}{|\vec{r} - \vec{r}'|} \right) \\ &= -\int d^3 r' \rho(\vec{r}') \underbrace{\Delta \frac{1}{|\vec{r} - \vec{r}'|}}_{-4\pi \delta_D(\vec{r} - \vec{r}')} + \vec{\pi}(\vec{r}') \underbrace{\nabla' \Delta \frac{1}{|\vec{r} - \vec{r}'|}}_{=-4\pi \delta_D(\vec{r} - \vec{r}')} \\ &\quad \underbrace{\quad}_{=-\nabla \delta_D(\vec{r} - \vec{r}')} \\ \text{div } \vec{E} &= 4\pi \int d^3 r' \rho(\vec{r}') \delta_D(\vec{r} - \vec{r}') - 4\pi \nabla \int d^3 r' \vec{\pi}(\vec{r}') \delta_D(\vec{r} - \vec{r}') \\ \text{div } \vec{E} &= 4\pi \rho - 4\pi \text{div } \vec{\pi} \\ \underbrace{\text{div} \left(\vec{E} + 4\pi \vec{\pi} \right)}_{\vec{D}} &= 4\pi \rho \end{aligned}$$

$\vec{\pi}$ ist oft abhängig von dem externen Feld (da das externe Feld die Moleküle ausrichtet), dann gilt:

$$\begin{aligned} \vec{\pi} &= \varkappa \vec{E}, \quad \varkappa : \text{Suszeptibilität} \\ \vec{D} &= \varepsilon \vec{E}, \quad \varepsilon = 1 + 4\pi \varkappa \end{aligned}$$

Teil X.
orthogonale Funktionensysteme

X.1. orthogonale Funktionensysteme

Satz von Funktionen $\{u_1, \dots, u_n(x)\}$. Für komplexe Funktionen definiert

$$\langle u_i, u_j \rangle = \int_A dx u_i(x) u_j^*(x) = A_i \delta_{ij}$$

↓
Orthogonalitätsrelation $A_i = 1 \implies$ orthonormal.

ein Skalarprodukt. (symmetrisch, bilinear und positiv definit). Norm von $u_i(x)$:

$$\int_a^b dx u_i(x) u_i^*(x) = A_i$$

\implies normalisiere u_i :

$$u'_i(x) = \frac{u(x)}{\sqrt{\int_a^b dx u_i(x) u_i^*(x)}}$$

Bilden die orthonormalen Funktionen eine Basis?

$$g(x) \stackrel{?}{=} \sum_i^n g_i u_i(x)$$

$$\begin{aligned} 0 \leq \Delta n &= \int_a^b dx \left| g(x) - \sum_i^n g_i u_i(x) \right|^2 \\ &= \int_a^b dx g(x) g^*(x) - \int_a^b dx g(x) \sum_i g_i^* u_i^*(x) - \int_a^b dx \sum_i g_i u_i(x) g^*(x) + \int_a^b dx \sum_{ij} g_i u_i(x) g_j^* u_j^* \\ &= \int_a^b dx g(x) g^*(x) - \sum_i g_i^* \int_a^b dx g(x) u_i^*(x) - \sum_i g_i \int_a^b dx u_i(x) g^*(x) + \sum_{ij} g_i g_j^* \int_a^b dx u_i(x) u_j^* \end{aligned}$$

Minimierung von Δn :

$$\begin{aligned} \frac{\partial \Delta}{\partial g_i} &\stackrel{!}{=} 0 = g_i^* - \int_a^b dx g^*(x) u_i(x) \\ \frac{\partial \Delta}{\partial g_i^*} &= g_i - \int_a^b dx g(x) u_i^*(x) \\ \implies g_i &= \int_a^b dx g(x) u_i^*(x) \end{aligned}$$

Minimum:

$$\Delta = \int_a^b dx g(x) g^*(x) - \sum_i g_i g_i^*$$

Konvergenz im quadratischen Mittel

$$\lim_{n \rightarrow \infty} \Delta_n|_{min} = \lim_{n \rightarrow \infty} \int_a^b \left| \sum_i^n g_i u_i(x) - g(x) \right|^2 = 0$$

Konvergenz gesichert, falls: (Parseval-Relation/Vollständigkeitsrelation)

$$\int_a^b dx g(x) g^*(x) = \sum_i g_i g_i^*$$

Bessel-Ungleichung:

$$\int_a^b dx g(x)g^*(x) \geq \sum_i g_i g_i^*$$

denn:

$$\begin{aligned} 0 &\leq \int_a^b dx \left| g(x) - \sum_i^n g_i u_i(x) \right|^2 \\ &= \int_a^b dx g(x)g^*(x) - 2 \sum_i g_i \int_a^b dx g^*(x)u_i(x) + \sum_{ij} g_i g_j^* \underbrace{\int_a^b dx u_i(x)u_j^*(x)}_{=\delta_{ij}} \end{aligned}$$

Im Fall $\Delta n = 0$ für $n \rightarrow \infty$:

$$\int_a^b dx g(x)g^*(x) = \sum_i^n g_i g_i^*$$

Was bedeutet das für das Basissystem?

$$\begin{aligned} \sum_i g_i g_i^* &= \sum_i \int dx g(x)u_i^*(x) \int dx' g^*(x')u_i(x') \\ &= \int_a^b dx g(x) \int_a^b dx' g^*(x') \underbrace{\sum_i u_i^*(x)u_i(x')}_{\delta_D(x-x')} \stackrel{?}{=} \int_a^b dx g(x)g^*(x) \\ &= \int_a^b g(x) \int_a^b g^*(x')\delta_D(x-x') = \int_a^b g(x)g^*(x) \end{aligned}$$

dies gilt, wenn: (Anforderung an das Basissystem)

$$\sum_i u_i^*(x)u_i(x') = \delta_D(x-x')$$

Basissystem muss in der Lage sein, die δ_D -Funktion darzustellen.

Cauchy-Schwarz-Ungleichung \sim Eindeutigkeit der Linearzerlegung:

$$\begin{aligned} \left(\sum_i a_i b_i \right)^2 &\leq \sum_i a_i^2 \sum_j b_j^2 \\ \implies |\vec{a} \vec{b}|^2 &\leq \vec{a}^2 \vec{b}^2 \\ |\vec{a} - \lambda \vec{b}|^2 = 0 &\text{ kann nur } \begin{cases} 1 \text{ Lösung haben} & \text{falls } \vec{a} \parallel \vec{b} \\ \text{keine Lösung haben} & \text{falls } \vec{a} \not\parallel \vec{b} \end{cases} \\ &= \vec{a}^2 - 2\lambda \vec{a} \vec{b} + \lambda^2 \vec{b}^2 \\ \implies \lambda_{\pm} &= 2\vec{a} \vec{b} \pm \sqrt{4(\vec{a} \vec{b})^2 - 4\vec{a}^2 \vec{b}^2} \\ \sqrt{4(\vec{a} \vec{b})^2 - 4\vec{a}^2 \vec{b}^2} &\begin{cases} \text{hat eine Lösung} & \text{falls } (\vec{a} \vec{b})^2 = \vec{a}^2 \vec{b}^2 \\ \text{hat keine Lösung} & \text{falls } (\vec{a} \vec{b})^2 < \vec{a}^2 \vec{b}^2 \end{cases} \end{aligned}$$

falls $(\vec{a}\vec{b})^2 = \vec{a}^2\vec{b}^2$ ist, sind $\vec{a} \parallel \vec{b}$ und \vec{a} lässt sich durch den Vektor \vec{b} darstellen:

$$\left(\int_a^b dx g(x) h^*(x) \right)^2 \leq \int_a^b dx g(x) g^*(x) \int_a^b dx h(x) h^*(x)$$

$$\int_a^b dx (g(x) - \lambda h(x))^2 = \int_a^b dx g(x) g^*(x) - 2\lambda \int_a^b dx g(x) h^*(x) + \lambda^2 \int_a^b dx h(x) h^*(x)$$

dann gleiches Argument

Mögliche Wahlen von orthonormalen Systemen:

$$\Delta\phi = \text{const.}\phi$$

Sinus (ungerade) und Kosinus (gerade):

$$\frac{1}{\pi} \int_{-\pi}^{\pi} dx \sin(nx) \sin(mx) = \delta_{mn}$$

$$\frac{1}{\pi} \int_{-\pi}^{\pi} dx \cos(nx) \cos(mx) = \delta_{mn}$$

\Rightarrow orthonormale Funktionen:

$$u_m(x) = \frac{1}{\sqrt{\pi}} \sin(mx)$$

$$v_m(x) = \frac{1}{\sqrt{\pi}} \cos(mx)$$

Man erhält die Fourier-Reihe

$$\Rightarrow g(x) = \frac{a_0}{2} + \sum_{m=1}^{\infty} a_m \cos(mx) + b_m \sin(mx)$$

$$a_m = \frac{1}{\pi} \int_{-\pi}^{+\pi} dx' g(x') \cos(mx')$$

$$b_m = \frac{1}{\pi} \int_{-\pi}^{+\pi} dx' g(x') \sin(mx')$$

Kontinuumslimit

$$\int_{-\infty}^{\infty} dx \exp(ikx) \exp(ik'x)^* = \delta_D(k - k') \delta_D(x - x') = \sum_i u_i(x) u_i^*(x')$$

$$\text{Wellen } \sum_n \cos(nx) \cos(nx') = \delta_D(x - x')$$

$$\sum_n \exp(inx) \exp(inx') = \delta_D(x - x')$$

X.2. Kugelflächenfunktionen (spherical harmonics)

Δ in Kugelkoordinaten (in 3D), Laplace-Gleichung: $\Delta\phi = 0$:

$$\Delta\phi = \frac{1}{r^2} \frac{\partial}{\partial r} \left(r^2 \frac{\partial \phi}{\partial r} \right) + \frac{1}{r^2 \sin^2 \theta} \frac{\partial}{\partial \theta} \left(\sin \theta \frac{\partial \phi}{\partial \theta} \right) + \frac{1}{r^2 \sin^2 \theta} \frac{\partial^2 \phi}{\partial \varphi^2}$$

Separation der Variablen

$$\phi(r, \theta, \varphi) = R(r) \cdot Y(\theta, \varphi)$$

Radialteil:

$$\frac{d}{dr} \left(r^2 \frac{dR}{dr} \right) = \lambda R$$

Lösungen:

$$R(r) = Ar^\lambda + Br^{-(1+\lambda)}$$

Winkelteil:

$$\frac{1}{\sin \theta} \frac{\partial}{\partial \theta} \left(\sin \theta \frac{\partial Y}{\partial \theta} \right) + \frac{1}{\sin^2 \theta} \frac{\partial^2 Y}{\partial \varphi^2} = \lambda Y$$

Separation:

$$Y(\theta, \varphi) = P(\theta)Q(\varphi)$$

in φ -Richtung, harmonische Differentialgleichung:

$$\frac{d^2 Q}{d\theta^2} = -m^2 Q$$

in θ -Richtung

$$\lambda \sin^2 \theta + \frac{\sin \theta}{P} \frac{d}{d\theta} \left(\sin \theta \frac{dP}{d\theta} \right) = m^2$$

Wellen in φ -Richtung, Periodizität 2π

$$\implies Q(\varphi) \sim \exp(\pm im\varphi)$$

λ muss gleich $l(l+1)$ mit $l \geq |m|$ sein, damit Lösungen für P existieren. Substitution $\mu = \cos \theta \rightarrow$ Legendre-Differentialgleichung

$$\implies 0 = (1 - \mu^2) \frac{d^2}{d\mu^2} \underbrace{P_{lm}(\mu)}_{\text{assozierte Legendre Polynome}} - 2 \frac{d}{d\mu} P_{lm}(\mu) + \left(l(l+1) - \frac{m^2}{1 - \mu^2} \right) P_{lm}(\mu)$$

Zusammensetzen der Winkellösung

$$Y_{lm}(\theta, \varphi) = \sqrt{\frac{2l+1}{4\pi}} \sqrt{\frac{(l-m)!}{(l+m)!}} \underbrace{P_{lm}(\cos \theta)}_{=P} \underbrace{\exp(-im\varphi)}_{=Q}$$

$$\text{mit } \int d\Omega Y_{lm} Y_{l'm'} = \delta_{ll'} \delta_{mm'}$$

Teil B.
Fortsetzung Potentialtheorie

B.10. Helmholtz-Zerlegung

$\vec{X} = -\nabla\psi + \text{rot } \vec{Q} \sim$ allgemeine Darstellung eines Vektorfelds \vec{X} , mit

$$\begin{aligned}\psi &= \frac{1}{4\pi} \int_V d^3r' \frac{\nabla' \cdot \vec{X}(\vec{r}')}{|\vec{r} - \vec{r}'|} - \frac{1}{4\pi} \int_{\partial V} d\vec{S}' \frac{\vec{X}(\vec{r}')}{|\vec{r} - \vec{r}'|} \\ \vec{Q} &= \frac{1}{4\pi} \int_V d^3r' \frac{\nabla' \times \vec{X}(\vec{r}')}{|\vec{r} - \vec{r}'|} - \frac{1}{4\pi} \int_{\partial V} d\vec{S}' \times \frac{\vec{X}(\vec{r}')}{|\vec{r} - \vec{r}'|}\end{aligned}$$

falls \vec{X} schneller als $1/r$ gegen Null strebt:

$$\frac{1}{4\pi} \int_{\partial V} d\vec{S}' \times \frac{\vec{X}(\vec{r}')}{|\vec{r} - \vec{r}'|} \rightarrow 0$$

Greenfunktion von Δ :

$$\begin{aligned}\Delta \frac{1}{|\vec{r} - \vec{r}'|} &= -4\pi\delta_D(\vec{r} - \vec{r}') \vec{X}(\vec{r}) \\ \Delta \vec{A} &= \nabla(\nabla \cdot \vec{A}) - \nabla \times (\nabla \times \vec{A}) \\ \rightarrow \vec{X}(\vec{r}) &= -\frac{1}{4\pi} \left(\nabla \text{div} \int_V d^3r' \frac{\vec{X}(\vec{r}')}{|\vec{r} - \vec{r}'|} + \text{rot rot} \int_V d^3r' \frac{\vec{X}(\vec{r}')}{|\vec{r} - \vec{r}'|} \right) \\ &= -\frac{1}{4\pi} \left(\nabla \int_V d^3r' \vec{X}(\vec{r}') \nabla \frac{1}{|\vec{r} - \vec{r}'|} + \text{rot} \int_V d^3r' \vec{X}(\vec{r}') \right)\end{aligned}$$

Umschreiben von ∇ :

$$\begin{aligned}\nabla \frac{1}{|\vec{r} - \vec{r}'|} &= \frac{\vec{r} - \vec{r}'}{|\vec{r} - \vec{r}'|^3} = -\nabla' \frac{1}{|\vec{r} - \vec{r}'|} \\ \rightarrow \vec{X}(\vec{r}) &= -\frac{1}{4\pi} \left(-\nabla \int_V d^3r' \vec{X}(\vec{r}') \nabla' \frac{1}{|\vec{r} - \vec{r}'|} - \text{rot} \int_V d^3r' \vec{X}(\vec{r}') \right) \\ \text{div}(\varphi \vec{X}) &= \nabla\varphi \cdot \vec{X} + \varphi \text{div} \vec{X} \\ \text{rot}(\varphi \vec{X}) &= \nabla\varphi \times \vec{X} + \varphi \text{rot} \vec{X} = -\vec{X} \times \nabla\varphi + \varphi \text{rot} \vec{X} \\ \rightarrow \vec{X}(\vec{r}) &= -\frac{1}{4\pi} \left(-\nabla \left(-\int_V d^3r' \nabla' \frac{\vec{X}(\vec{r}')}{|\vec{r} - \vec{r}'|} - \int_V d^3r' \frac{\nabla' \cdot \vec{X}(\vec{r}')}{|\vec{r} - \vec{r}'|} \right) \right. \\ &\quad \left. + \text{rot} \left(\int_V d^3r' \nabla' \times \frac{\vec{X}(\vec{r}')}{|\vec{r} - \vec{r}'|} - \int_V d^3r' \frac{\nabla' \times \vec{X}(\vec{r}')}{|\vec{r} - \vec{r}'|} \right) \right) \\ &= -\frac{1}{4\pi} \left(-\nabla \left(-\underbrace{\int_{\partial V} d\vec{S}' \frac{\vec{X}(\vec{r}')}{|\vec{r} - \vec{r}'|}}_{\rightarrow 0} - \int_V d^3r' \frac{\nabla' \cdot \vec{X}(\vec{r}')}{|\vec{r} - \vec{r}'|} \right) \right. \\ &\quad \left. + \text{rot} \left(\underbrace{\int_{\partial V} d\vec{S}' \times \frac{\vec{X}(\vec{r}')}{|\vec{r} - \vec{r}'|}}_{\rightarrow 0} - \int_V d^3r' \frac{\nabla' \times \vec{X}(\vec{r}')}{|\vec{r} - \vec{r}'|} \right) \right)\end{aligned}$$

Die Terme gehen gegen null, weil die Felder in der Elektrodynamik schnell genug abfallen (Fläche $\sim r^2$, Feld $\sim 1/r^2$, mit $1/|\vec{r} - \vec{r}'|: \sim 1/r^3$)

$$\begin{aligned}
 &= -\nabla \left(\underbrace{\frac{1}{4\pi} + \int_V d^3r' \frac{\nabla' \cdot \vec{X}(\vec{r})}{|\vec{r} - \vec{r}'|} - \int_{\partial V} d\vec{S}' \frac{\vec{X}(\vec{r}')}{|\vec{r} - \vec{r}'|}}_{=\psi(\vec{r})} \right) \\
 &+ \text{rot} \left(\underbrace{\frac{1}{4\pi} \int_V d^3r' \frac{\nabla' \times \vec{X}(\vec{r}')}{|\vec{r} - \vec{r}'|} - \int_{\partial V} d\vec{S}' \times \frac{\vec{X}(\vec{r}')}{|\vec{r} - \vec{r}'|}}_{=\vec{Q}(\vec{r})} \right) \\
 &\rightarrow \vec{X} = -\nabla\psi + \text{rot} \vec{Q}
 \end{aligned}$$

Maxwell-Gleichung für eine statische Situation, also $\partial_{ct}(\dots) = 0$

$$\text{div} \vec{E} = 4\pi\rho$$

$$\text{div} \vec{B} = 0$$

$$\text{rot} \vec{E} = 0$$

$$\text{rot} \vec{B} = \frac{4\pi}{c} \vec{j}$$

$$\vec{E}(\vec{r}) = \frac{1}{4\pi} \left(-\nabla \int_V d^3r' \frac{\overbrace{\text{div}' \vec{E}'}^{=4\pi\rho}}{|\vec{r} - \vec{r}'|} + \text{rot} \int_V d^3r' \frac{\overbrace{\text{rot}' \vec{E}'}^{=0}}{|\vec{r} - \vec{r}'|} \right) = -$$

$$\vec{B}(\vec{r}) = \frac{1}{4\pi} \left(-\nabla \int_V d^3r' \frac{\overbrace{\text{div}' \vec{B}'}^{=0}}{|\vec{r} - \vec{r}'|} + \text{rot} \int_V d^3r' \frac{\overbrace{\text{rot}' \vec{B}'}^{=\frac{4\pi}{c}\vec{j}}}}{|\vec{r} - \vec{r}'|} \right) = \text{rot} \vec{A}$$

$$\rightarrow \vec{E} = -\nabla\phi$$

$$\vec{B} = \text{rot} \vec{A}$$

mit Vektorpotenzial \vec{A} :

$$\vec{A} = \frac{1}{c} \int_V d^3r' \frac{\vec{j}(\vec{r}')}{|\vec{r} - \vec{r}'|}$$

und Potenzial ϕ :

$$\phi = \int_V d^3r' \frac{\rho(\vec{r}')}{|\vec{r} - \vec{r}'|}$$

B.11. Biot-Savart-Gesetz

$$\vec{B} = \text{rot} \vec{A} = \frac{1}{c} \int_V d^3r' \vec{j}(\vec{r}') \times \frac{\vec{r} - \vec{r}'}{|\vec{r} - \vec{r}'|^3}$$

und gleichzeitig

$$\Delta \vec{A} = -\frac{4\pi}{c} \vec{j}$$

als Umkehrung, da

$$\operatorname{rot} \vec{B} = \operatorname{rot} \operatorname{rot} \vec{A} = \nabla \operatorname{div} \vec{A} - \Delta \vec{A} = \frac{4\pi}{c} \vec{j}$$

Wenn $\operatorname{div} \vec{A} = 0$, dann komplette Symmetrie zu ϕ :

$$\begin{aligned}\Delta \vec{A} &= -\frac{4\pi}{c} \vec{j} \\ \Delta \phi &= -4\pi\rho \\ \vec{A} &= \frac{1}{c} \int d^3r' \frac{\vec{j}'}{|\vec{r} - \vec{r}'|} \\ \phi &= \int d^3r' \frac{\rho'}{|\vec{r} - \vec{r}'|}\end{aligned}$$

\implies Eichtransformation: \vec{B} ändert sich nicht, falls $\vec{A} \rightarrow \vec{A} + \nabla\chi$, $\chi \sim$ Eichfeld

$$\vec{B} = \operatorname{rot} \vec{A} \rightarrow \operatorname{rot}(\vec{A} + \nabla\chi) = \operatorname{rot}(\vec{A} + \operatorname{rot} \nabla\chi) = \operatorname{rot} \vec{A} = \vec{B}$$

Wahl von χ :

$$\operatorname{div} \vec{A} \rightarrow \operatorname{div}(\vec{A} + \nabla\chi) = \operatorname{div} \vec{A} + \Delta\chi \stackrel{!}{=} 0$$

\implies wähle $\Delta\chi = -\operatorname{div} \vec{A}$

$$\begin{aligned}\operatorname{rot} \vec{B} &= \operatorname{rot} \operatorname{rot} \vec{A} = \nabla \operatorname{div} \vec{A} - \Delta \vec{A} = \nabla \operatorname{div}(\vec{A} + \nabla\chi) - \Delta(\vec{A} + \nabla\chi) \\ &= \nabla \operatorname{div} \vec{A} + \nabla \operatorname{div} \nabla\chi - \Delta \vec{A} - \nabla \Delta\chi = \nabla \operatorname{div} \vec{A} - \Delta \vec{A} = \operatorname{rot} \vec{B} \\ &\quad \downarrow \\ &\Delta \nabla\chi = \nabla \Delta\chi\end{aligned}$$

Warum ist das möglich? $\Delta\chi = -\operatorname{div} \vec{A}$ hat eine eindeutige Lösung als Potenzialgleichung, wegen des 1. Green-Theorems.

Wahl von $\operatorname{div} \vec{A} = 0$: Coulomb-Eichung, physikalische Bedeutung:

$$\begin{aligned}\operatorname{div} \vec{A} &= \operatorname{div} \frac{1}{c} \int d^3r' \frac{\vec{j}}{|\vec{r} - \vec{r}'|} = \frac{1}{c} \int_V d^3r' \vec{j}' \nabla \frac{1}{|\vec{r} - \vec{r}'|} = -\frac{1}{c} \int_V d^3r' \vec{j}' \nabla' \frac{1}{|\vec{r} - \vec{r}'|} \\ &= \frac{1}{c} \int_V d^3r' \frac{\nabla' \vec{j}'}{|\vec{r} - \vec{r}'|} = -\frac{1}{c} \int_V d^3r' \frac{\partial_t \rho'}{|\vec{r} - \vec{r}'|} = -\frac{1}{c} \partial_t \int_V d^3r' \frac{\rho'}{|\vec{r} - \vec{r}'|} = -\partial_{ct} \phi\end{aligned}$$

falls $\operatorname{div} \vec{A} = 0$ gewählt wird, ist das elektrische Potenzial konstant als Folge aus der Kontinuität der Ladung, zeitabhängige Maxwell-Gleichungen:

$$\begin{aligned}\operatorname{div} \vec{E} &= 4\pi\rho \\ \operatorname{div} \vec{B} &= 0 \\ \operatorname{rot} \vec{E} &= -\partial_{ct} \vec{B} \\ \operatorname{rot} \vec{B} &= \partial_{ct} \vec{E} + \frac{4\pi}{c} \vec{j}\end{aligned}$$

→ \vec{B} ist ein reines Wirbelfeld, $\vec{B} = \text{rot } \vec{A}$ → Substitution in die Helmholtz-Zerlegung:

$$\vec{E} = -\nabla \underbrace{\frac{1}{4\pi} \int_V d^3r' \frac{\text{div}' \vec{E}'}{|\vec{r} - \vec{r}'|}}_{=\phi} + \text{rot} \frac{1}{4\pi} \int_V d^3r' \frac{\overbrace{\text{rot}' \vec{E}'}^{-\partial_{ct} \vec{B}'}}{|\vec{r} - \vec{r}'|}$$

$$\vec{B} = -\nabla \frac{1}{4\pi} \int_V d^3r' \frac{\overbrace{\text{div}' \vec{B}'}{=0}}{|\vec{r} - \vec{r}'|} + \text{rot} \frac{1}{4\pi} \int_V d^3r' \frac{\overbrace{\text{rot}' \vec{B}'}{=\partial_{ct} \vec{E}' + \frac{4\pi}{c} \vec{j}'}}{|\vec{r} - \vec{r}'|}$$

zwei Effekte: \vec{E} und \vec{B} sind gekoppelt und \vec{B} ist immernoch ein reines Wirbelfeld

$$\vec{B} = \text{rot} \frac{1}{4\pi} \int_V d^3r' \frac{\text{rot}' \text{rot}' \vec{A}}{|\vec{r} - \vec{r}'|} = -\text{rot} \frac{1}{4\pi} \int_V d^3r' \frac{\Delta' \vec{A}'}{|\vec{r} - \vec{r}'|} \stackrel{\uparrow}{=} \text{rot} \frac{1}{c} \int_V d^3r' \frac{\vec{j}'}{|\vec{r} - \vec{r}'|} = \text{rot } \vec{A}$$

$\Delta' \vec{A} = -\frac{4\pi}{c} \vec{j}$ in Coulomb-Eichung

$\text{rot}' \text{rot}' \vec{A} = \nabla' \text{div}' \vec{A}' - \Delta' \vec{A}' = -\Delta' \vec{A}'$, mit Coulomb-Eichung

immerhin sind \vec{B} und \vec{A} konsistent zueinander, selbst wenn die Felder zeitabhängig sind.

$$\begin{aligned} \vec{E} &= -\nabla \phi + \text{rot} \frac{1}{4\pi} \int_V d^3r' \frac{\text{rot}' \vec{E}'}{|\vec{r} - \vec{r}'|} = -\nabla \phi - \text{rot} \frac{1}{4\pi} \int_V d^3r' \frac{\partial_{ct} \vec{B}}{|\vec{r} - \vec{r}'|} \\ &= -\nabla \phi - \frac{\partial_{ct}}{4\pi} \int_V d^3r' \frac{\text{rot}' \vec{B}'}{|\vec{r} - \vec{r}'|} \stackrel{\downarrow}{=} -\nabla \phi - \frac{\partial_{ct}}{4\pi} \int_V d^3r' \frac{\text{rot}' \vec{B}'}{|\vec{r} - \vec{r}'|} \\ &\quad \int d^3r' \frac{\text{rot}' \vec{B}'}{|\vec{r} - \vec{r}'|} = -\int d^3r' \vec{B}' \times \nabla \frac{1}{|\vec{r} - \vec{r}'|} = \int d^3r' \frac{\text{rot}' \vec{B}'}{|\vec{r} - \vec{r}'|} \\ &= -\nabla \phi - \frac{\partial_{ct}}{4\pi} \int_V d^3r' \frac{\text{rot}' \text{rot}' \vec{A}'}{|\vec{r} - \vec{r}'|} \stackrel{\downarrow}{=} -\nabla \phi - \partial_{ct} \underbrace{\int_V d^3r' \frac{\vec{j}'}{|\vec{r} - \vec{r}'|}}_{=\vec{A}} \\ &\quad \text{rot}' \text{rot}' \vec{A} = -\Delta \vec{a}' = \frac{4\pi}{c} \vec{j}' = \vec{A} \end{aligned}$$

→ $\vec{B} = \text{rot } \vec{A}$
 $\vec{E} = -\nabla \phi - \partial_{ct} \vec{A}$

Rechnung: in Coulomb-Eichung, aber die Wahl der Eichung beeinflusst die Felder nicht.

B.12. Potenziale und Eichung → allgemeiner Form

$$\left. \begin{aligned} \text{div } \vec{B} &= 0 \\ \text{rot } \vec{E} + \partial_{ct} \vec{B} &= 0 \end{aligned} \right\} \text{homogene Maxwell Gleichungen}$$

$$\left. \begin{aligned} \text{div } \vec{E} &= 4\pi\rho \\ \text{rot } \vec{B} - \partial_{ct} \vec{E} &= \frac{4\pi}{c} \vec{j} \end{aligned} \right\} \text{inhomogene Maxwell Gleichungen}$$

Aus den 2 homogenen Maxwell-Gleichungen:

$$\begin{aligned} \text{div } \vec{B} &= 0 \rightarrow \vec{B} = \text{rot } \vec{A} \\ \text{rot } \vec{E} + \partial_{ct} \vec{B} &= 0 \rightarrow \text{rot}(\vec{E} + \partial_{ct} \vec{A}) = 0 \rightarrow \vec{E} + \partial_{ct} \vec{A} = -\nabla \phi \end{aligned}$$

Aus den 2 inhomogenen Maxwell-Gleichungen:

$$\operatorname{div} \vec{E} = \operatorname{div} \left(-\nabla\phi - \partial_{ct} \vec{A} \right) = -\Delta\phi - \partial_{ct} \operatorname{div} \vec{A} = 4\pi\rho$$

$$\operatorname{rot} \vec{B} = \operatorname{rot} \operatorname{rot} \vec{A} = \partial_{ct} \left(-\nabla\phi - \partial_{ct} \vec{A} \right) + \frac{4\pi}{c} \vec{j}$$

$$\implies \Delta\phi + \partial_{ct} \operatorname{div} \vec{A} = -4\pi\rho$$

$$\Delta \vec{A} - \partial_{ct}^2 \vec{A} = -\frac{4\pi}{c} \vec{j} + \nabla \left(\operatorname{div} \vec{A} + \partial_{ct} \phi \right)$$

\implies gekoppelte Gleichungen, Entkopplung durch Eichung!

$$\vec{B} = \operatorname{rot} \vec{A} \text{ unverändert, falls } \vec{A} \rightarrow \vec{A} + \nabla\chi, \text{ weil } \operatorname{rot} \nabla\chi = 0$$

$$\vec{E} = -\nabla\phi - \partial_{ct} \vec{A} \text{ impliziert, dass } \phi \rightarrow \phi - \partial_{ct}\chi$$

$$\vec{E} \rightarrow -\nabla(\phi - \partial_{ct}\chi) - \partial_{ct}(\vec{A} + \nabla\chi) = -\nabla\phi - \partial_{ct}\vec{A} = \vec{E}$$

Wahl der Eichung zum Entkopplern der Gleichungen

$$\operatorname{div} \vec{A} + \partial_{ct}\phi = 0$$

(Lorenz-Eichung)

$$\Delta\phi - \partial_{ct}^2\phi = -4\pi\rho$$

$$\Delta \vec{A} - \partial_{ct}^2 \vec{A} = -\frac{4\pi}{c} \vec{j}$$

B.13. elektromagnetische Wellen

$$\Delta\phi - \partial_{ct}^2\phi = (\nabla - \partial_{ct})(\nabla + \partial_{ct})\phi = -4\pi\rho$$

$$\Delta \vec{A} - \partial_{ct}^2 \vec{A} = (\nabla - \partial_{ct})(\nabla + \partial_{ct}) \vec{A} = -\frac{4\pi}{c} \vec{j}$$

im Vakuum: $\rho = 0, \vec{j} = 0$

$$\phi = \phi_0 \exp\left(\pm i(\vec{k}\vec{x} - \omega t)\right)$$

$$\rightarrow \nabla\phi = \pm i \vec{k}\phi$$

$$\Delta\phi = -\vec{k}^2\phi$$

$$\partial_{ct}\phi = \mp i \frac{\omega}{c} \phi$$

$$\partial_{ct}^2\phi = -\frac{\omega^2}{c^2} \phi$$

$$\Delta\phi - \partial_{ct}^2\phi = 0 = \left(-k^2 + \frac{\omega^2}{c^2}\right)\phi \rightarrow \omega = \pm ck$$

analog für

$$\vec{A} = \vec{A}_0 \exp\left(\pm i(\vec{k}\vec{x} - \omega t)\right)$$

Phasen- und Gruppengeschwindigkeit:

$$c_{ph} = \frac{\omega}{k} = c = \frac{\partial\omega}{\partial k} = c_{gr}$$

→ identisch, keine Dispersion.

$$\begin{aligned}\Delta\phi + \partial_{ct} \operatorname{div} \vec{A} &= -4\pi\rho \\ \Delta\vec{A} - \partial_{ct}^2 \vec{A} &= -\frac{4\pi}{c} \vec{j} + \nabla(\operatorname{div} \vec{A} + \partial_{ct}\phi)\end{aligned}$$

Coulomb-Eichbedingung:

$$\begin{aligned}\Delta\phi &= -4\pi\rho \\ \Delta\vec{A} - \partial_{ct}^2 \vec{A} &= -\frac{4\pi}{c} \vec{j} + \nabla\partial_{ct}\phi\end{aligned}$$

neue Quelle für \vec{A} : $\partial_{ct}\nabla\phi = -\vec{E}$

$$\operatorname{div} \vec{A} = \pm i \underbrace{\vec{k} \vec{A}_0}_{=0} \exp(\pm i(\vec{k} \vec{x} - \omega t)) = 0$$

→ \vec{A} steht (in Coulomb-Eichung) senkrecht auf der Ausbreitungsrichtung: „transversale Eichung“

→ ϕ wird tatsächlich dann durch die Ladungsverteilung ρ instantan erzeugt.

Teil C.
elektromagnetische Wellen

C.1. Wellen im Vakuum: $\rho = 0, \vec{j} = 0, \varepsilon = \mu = 1$

$\rightarrow \operatorname{div} \vec{E} = 0, \operatorname{div} \vec{B} = 0, \operatorname{rot} \vec{E} = -\partial_{ct} \vec{B}, \operatorname{rot} \vec{B} = \partial_{ct} \vec{E}$ eine Dualität $\vec{E} \rightarrow \vec{B}$ und $\vec{B} \rightarrow -\vec{E}$ im Vakuum lässt die Maxwell-Gleichungen invariant.

$$\begin{aligned} \operatorname{rot} \operatorname{rot} \vec{E} &= \underbrace{\nabla \operatorname{div} \vec{E}}_{=0} - \Delta \vec{E} = -\partial_{ct} \underbrace{\operatorname{rot} \vec{B}}_{=\partial_{ct}} = -\partial_{ct}^2 \vec{E} \\ \rightarrow \Delta \vec{E} - \partial_{ct}^2 \vec{E} &= 0 \\ \text{analog für } \vec{B}: \quad \Delta \vec{B} - \partial_{ct}^2 \vec{B} &= 0 \end{aligned}$$

Lösung: mache Ansatz

$$\begin{aligned} \vec{E} &= \vec{E}_0 \exp\left(\pm i\left(\vec{k}\vec{x} - \omega t\right)\right) \\ \rightarrow \vec{E} &= -k^2 \vec{E} \\ \partial_{ct}^2 \vec{E} &= -\left(\frac{\omega}{c}\right)^2 \vec{E} \\ \Delta \vec{E} - \partial_{ct}^2 \vec{E} &= \left(-k^2 + \left(\frac{\omega}{c}\right)^2\right) \vec{E} = 0 \rightarrow c|k| = \pm\omega \end{aligned}$$

Dispersionsfreiheit:

$$\begin{aligned} v_{ph} &= \frac{\omega}{k} = c \\ v_{gr} &= \frac{\partial\omega}{\partial k} = c \\ \rightarrow v_{ph}v_{gr} &= c^2 \end{aligned}$$

Flächen gleicher Phase:

$$kx - \omega t = k\left(x - \frac{\omega}{k}t\right) = k(x - ct) = \text{const. falls } x - ct = \text{const.}$$

elektromagnetische Wellen sind transversal:

aus dem Gauß-Gesetz

$$\operatorname{div} \vec{E} = \vec{k} \vec{E} = 0 \implies \vec{k} \perp \vec{E}$$

genauso aus der 2. Maxwell-Gleichung

$$\operatorname{div} \vec{B} = \vec{k} \vec{B} = 0 \implies \vec{k} \perp \vec{B}$$

\vec{E} und \vec{B} -Felder sind gleichphasig

$$\operatorname{rot} \vec{E} = \vec{k} \times \vec{E} = -\partial_{ct} \vec{B} \implies \vec{E} \perp \vec{B}$$

$\rightarrow \vec{k}, \vec{B}_0$ und \vec{E}_0 bilden ein Rechtssystem + \vec{E} und \vec{B} sind gleichphasig.

Wie schaut das für die Potentiale aus?

$$\begin{aligned} \rho &= 0, \vec{q} = 0 \\ \phi &= \phi_0 \exp\left(\pm i\left(\vec{k}\vec{x} - \omega t\right)\right) \\ \rightarrow (\Delta - \partial_{ct}^2)\phi &= \left(-k^2 + \left(\frac{\omega}{c}\right)^2\right)\phi = 0 \quad \text{alles ist völlig analog} \end{aligned}$$

C.2. Polarisation

Superposition von 2 ebenen Wellen **ohne** Phasenverschiebung → lineare Polarisation:

$$\left. \begin{aligned} \vec{E}_1 &= \vec{\varepsilon}_1 \exp\left(i\left(\vec{k}\vec{x} - \omega t\right)\right) \\ \vec{E}_2 &= \vec{\varepsilon}_2 \exp\left(i\left(\vec{k}\vec{x} - \omega t\right)\right) \end{aligned} \right\} \rightarrow \vec{E}_1 + \vec{E}_2 = (\vec{\varepsilon}_1 + \vec{\varepsilon}_2) \exp\left(i\left(\vec{k}\vec{x} - \omega t\right)\right)$$

Superposition von 2 ebenen Wellen **mit** Phasenverschiebung → zirkulare Polarisation

$$\left. \begin{aligned} \vec{E}_1 &= \vec{\varepsilon}_1 \exp\left(i\left(\vec{k}\vec{x} - \omega t\right)\right) \\ \vec{E}_2 &= \vec{\varepsilon}_2 \exp\left(i\left(\vec{k}\vec{x} - \omega t - \varphi_0\right)\right) \end{aligned} \right\} \rightarrow \vec{E}_1 + \vec{E}_2 = (\vec{\varepsilon}_1 + i\vec{\varepsilon}_2) \exp\left(i\left(\vec{k}\vec{x} - \omega t\right)\right)$$

falls $\varphi_0 = \pi/2$: $\exp(i\pi/2) = i$

C.3. Energietransport durch das elektrische Feld

$$\begin{aligned} &\left\{ \begin{aligned} \text{rot } \vec{E} &= -\partial_{ct} \vec{B} \\ \text{rot } \vec{B} &= \partial_{ct} \vec{E} + \frac{4\pi}{c} \vec{j} \end{aligned} \right. \\ \text{div}(\vec{E} \times \vec{B}) &= \vec{B} \text{ rot } \vec{E} - \vec{E} \text{ rot } \vec{B} \\ \vec{E} \text{ rot } \vec{B} &= \vec{B} \text{ rot } \vec{E} - \frac{4\pi}{c} \vec{j} \vec{E} + \vec{E} \partial_{ct} \vec{E} + \vec{B} \partial_{ct} \vec{B} \\ \underbrace{\frac{c}{4\pi} \text{div}(\vec{E} \times \vec{B})}_{\text{Energiefluss}} + \underbrace{\vec{j} \vec{E}}_{\text{Ohm}} &= -\frac{1}{8\pi} \partial_t (\vec{E}^2 + \vec{B}^2) \end{aligned}$$

mit

$$\begin{aligned} W_{el} &= \frac{\vec{E}^2}{8\pi} = \frac{1}{2} \rho \phi = \frac{1}{8\pi} \phi \Delta \phi \\ W_{mag} &= \frac{\vec{B}^2}{8\pi} \\ &\rightarrow \underbrace{\frac{c}{4\pi} \text{div}(\vec{E} \times \vec{B})}_{\text{Energiefluss}} + \underbrace{\vec{j} \vec{E}}_{\text{Ohm-Arbeit}} = \underbrace{-\partial_t (W_{el} + W_{mag})}_{\text{Änderung der Energiedichte}} \end{aligned}$$

Poynting-Vektor ~ Energieflussdichte

$$\vec{S} = \frac{c}{4\pi} \vec{E} \times \vec{B}$$

ebene Welle: $\vec{S} \parallel \vec{k}$, \vec{k} steht senkrecht auf \vec{E} und \vec{B}

Ohm-Arbeit ~ Arbeit, die das Feld an der Stromdichte verrichtet: $\vec{j} = \sigma \vec{E}$ (Ohm-Gesetz mit Leitfähigkeit σ)

$$\Rightarrow \vec{j} \vec{E} = \sigma \vec{E}^2$$

$$\int_V d^3r \vec{j} \vec{E} = \sigma \int_V d^3r \vec{E}^2 = \sigma E^2 \Delta V = \sigma E^2 A \frac{l^2}{l} = \frac{\sigma A}{l} (El)^2 = \frac{U^2}{R}$$

Erhaltungsgleichung „Poynting-Satz“

$$\underbrace{\int_{\partial V} d\vec{A} \vec{S}}_{\text{Energietransport durch } \partial V} = \underbrace{\int_V d^3r \vec{j} \vec{E}}_{\text{Ohm-Arbeit in } V} + \underbrace{\frac{d}{dt} \int_V d^3r (W_{el} + W_{mag})}_{\text{Änderung der Feldenergie in } V}$$

C.4. Implustransport durch das elektromagnetische Feld

$$\vec{F} = q\vec{e} + \frac{1}{c}\nabla \times \vec{B}$$

Integriere über kleines Volumen, um die Lorentz-Kraftdichte \vec{f} zu erhalten

$$\begin{aligned} \rightarrow \vec{f} &= \rho\vec{E} + \frac{1}{c}\vec{j} \times \vec{B} \\ \implies \vec{F} &= \int_V d^3r \vec{f} = \int_V d^3r \left(\rho\vec{E} + \frac{1}{c}\vec{j} \times \vec{B} \right) = \frac{d}{dt}\vec{p} \\ \rightarrow \frac{d\vec{p}}{dt} &= \frac{1}{4\pi} \int_V d^3r \operatorname{div} \vec{E}\vec{E} + \operatorname{rot} \vec{B} \times \vec{B} - \partial_{ct}\vec{E} \times \vec{B} \\ \partial_{ct}\vec{E} \times \vec{B} &= \partial_{ct}(\vec{E} \times \vec{B}) - \vec{E} \times \partial_{ct}\vec{B} = \partial_{ct}(\vec{E} \times \vec{B}) - \operatorname{rot} \vec{E} \times \vec{E} \\ \frac{d\vec{p}}{dt} &= \int_V d^3r \left(\operatorname{div} \vec{E}\vec{E} + \operatorname{div} \vec{B}\vec{B} + \operatorname{rot} \vec{B} \times \vec{B} - \vec{E} \times \operatorname{rot} \vec{E} - \partial_{ct}(\vec{E} \times \vec{B}) \right) \\ \rightarrow \frac{d}{dt} \left(\vec{p} + \frac{1}{c^2} \int_V d^3r \vec{S} \right) &= \frac{1}{4\pi} \int_V d^3r \left(\operatorname{div} \vec{E}\vec{E} + \operatorname{div} \vec{B}\vec{B} + \operatorname{rot} \vec{B} \times \vec{B} + \operatorname{rot} \vec{E}\vec{E} \right) \end{aligned}$$

Kann man das Integral auf der rechten Seite als Divergenz schreiben?

→ ja: Maxwell-Spannungstensor

$$\begin{aligned} (\vec{E} \operatorname{div} \vec{E})_i &= E_i \partial_j E_j \\ (\vec{E} \times \operatorname{rot} \vec{E})_i &= \varepsilon_{ijk} E_j \varepsilon_{klm} \partial_l E_m = \varepsilon_{ijk} \varepsilon_{klm} E_j \partial_l E_m = (-\delta_{il} \delta_{jm} + \delta_{im} \delta_{jl}) E_j \partial_l E_m \\ &= -E_j \partial_i E_j + E_j \partial_j E_i \\ \rightarrow (\operatorname{div} \vec{E}\vec{E} + \operatorname{rot} \vec{E} \times \vec{E})_i &= E_i \partial_j E_j + E_j \partial_j E_i - E_j \partial_i E_j = \partial_j (E_i E_j) - \frac{1}{2} \partial_i (E_j E_j) = \partial_j \left(E_i E_j - \frac{1}{2} \delta_{ij} E_k E_k \right) \\ \rightarrow \frac{d}{dt} \left(\vec{p} + \frac{1}{c^2} \int_V d^3r \vec{p} \right)_i &= \frac{1}{4\pi} \int_V d^3r \partial_j \left(E_i E_j + B_i B_j - \frac{1}{2} \delta_{ij} (E_k E_k + B_k B_k) \right) \\ &\quad \downarrow \\ &\quad \text{Divergenz} \end{aligned}$$

Definiere den Maxwell-Spannungstensor T_{ij} :

$$\begin{aligned} T_{ij} &= \left(E_i E_j + B_i B_j - \frac{1}{2} \delta_{ij} (E_k E_k + B_k B_k) \right) \\ \operatorname{tr}(T_{ij}) &= \sum_i T_{ii} = \frac{1}{4\pi} \left(\vec{E}^2 + \vec{B}^2 - \frac{3}{2} (\vec{E}^2 + \vec{B}^2) \right) = \frac{\vec{E}^2 + \vec{B}^2}{8\pi} = -\frac{\vec{E} + \vec{B}}{8\pi} = -(W_{el} + W_{mag}) \\ W_{el} + W_{mag} + \operatorname{tr}(T_{ij}) &= 0 = T_{\mu}^{\mu} \\ \rightarrow \frac{d}{dt} \left(p_i + \frac{1}{c^2} \int_V d^3r S_i \right) &= \int_V d^3r \partial_j T_{ij} = \int_{\partial V} \sum_j dA_j T_{ij} \end{aligned}$$

$dA_j T_{ij}$: Kraft auf ein Flächenelement $dA_j \implies T_{ij}$ muss sich wie ein „Druck“ verhalten → Analogie zur Fluidmechanik.

C.5. Elektromagnetische Wellen in Materie

$$\begin{aligned}
 \vec{D} &= \varepsilon \vec{E} \\
 \vec{B} &= \mu \vec{H} \\
 \vec{j} &= \sigma \vec{E} \\
 \text{rot } H &= \partial_{ct} \vec{D} + \frac{4\pi}{c} (\vec{\sigma} \vec{E}) \\
 \text{rot } \vec{E} &= -\mu \partial_{ct} \vec{H} \\
 \text{div } \vec{H} &= 0 \\
 \text{div } \vec{E} &= 0 \\
 \rightarrow \text{rot rot } \vec{H} &= \nabla \text{div } \vec{H} - \Delta \vec{H} = \varepsilon \mu \partial_{ct}^2 \vec{H} \\
 \rightarrow \text{rot rot } \vec{E} &= \nabla \text{div } \vec{E} - \Delta \vec{E} = \varepsilon \mu \partial_{ct}^2 \vec{E} \\
 \frac{\varepsilon \mu}{c^2} \partial_t^2 &= \frac{1}{c'^2} \partial_t^2
 \end{aligned}$$

man erhält eine effektive Ausbreitungsgeschwindigkeit c' :

$$c' = \frac{c}{\sqrt{\varepsilon \mu}}$$

definiere Brechungsindex n :

$$n = \frac{c}{c'} = \sqrt{\varepsilon \mu} \approx \sqrt{\varepsilon}$$

↓
wenn μ fast immer ≈ 1 ist

man würde erwarten, dass ε und μ frequenzabhängig sind, die molekularen Dipole benötigen eine gewisse Zeit um sich auszurichten: Wasser: $\varepsilon \approx 81$, aber $n \approx 1.3$ für optisches Licht.

für $\sigma \neq 0$, ebene Welle :

$$\begin{aligned}
 \text{rot rot } \vec{H} &= -\Delta \vec{H} = \varepsilon \mu \partial_{ct}^2 \vec{H} + \frac{4\pi}{c} \mu \sigma \partial_{ct} \vec{H}, \quad \vec{H} = \vec{H}_0 \exp\left(i(\vec{k} \vec{x} - \omega t)\right) \\
 \text{rot rot } \vec{E} &= -\Delta \vec{E} = \varepsilon \mu \partial_{ct}^2 \vec{E} + \frac{4\pi}{c} \mu \sigma \partial_{ct} \vec{E}, \quad \vec{E} = \vec{E}_0 \exp\left(i(\vec{k} \vec{x} - \omega t)\right) \\
 \rightarrow \text{rot } \vec{H} &= -i\varepsilon \frac{\omega}{c} \vec{E} + \frac{4\pi}{c} \sigma \vec{E} = -i \left(\varepsilon + \frac{4\pi \sigma}{\omega} i \right) \frac{\omega}{c} \vec{E}
 \end{aligned}$$

Definiere Permittivität η :

$$\eta := \varepsilon + \frac{4\pi \sigma}{\omega} i$$

Vergleich mit

$$\text{rot } \vec{H} = -i\varepsilon \frac{\omega}{c} \vec{E}$$

ohne Leitfähigkeit.

Dispersion in Materie-Wellen aus den Maxwell-Gleichungen

$$\begin{aligned}\vec{k} \times \vec{H} &= -\frac{\omega}{c} \eta \vec{E} \\ \vec{k} \times \vec{E} &= \frac{\omega}{c} \eta \vec{H} \\ \vec{k} \cdot \vec{E} &= 0 \\ \vec{k} \cdot \vec{B} &= 0 \\ \rightarrow \vec{k} \times \vec{k} \times \vec{H} &= (\vec{k} \vec{H}) \vec{k} - k^2 \vec{H} = -\frac{\omega}{c} \eta \vec{k} \times \vec{E} = -\left(\frac{\omega}{c}\right)^2 \eta \vec{H}\end{aligned}$$

man erhält eine komplexe Dispersionsrelation

$$k^2 = \frac{\omega^2}{c^2} \eta \varepsilon \left(1 + \frac{4\pi\sigma}{\omega\varepsilon} i\right)$$

allgemeiner Ansatz

$$\begin{aligned}k &= \alpha + i\beta \\ \rightarrow k^2 &= \alpha^2 - \beta^2 + 2i\alpha\beta \\ \rightarrow \alpha^2 - \beta^2 &= \mu\varepsilon \frac{\omega^2}{c^2} \\ 2\alpha\beta &= \frac{4\pi\sigma}{\omega} \mu \frac{\omega^2}{c^2} \\ \Rightarrow \alpha &= \frac{1}{2\beta} \left(\frac{4\pi\sigma}{\omega} \mu \frac{\omega^2}{c^2}\right) \\ \frac{1}{4\beta^2} (\cdot)^2 - \beta^2 &= \mu\varepsilon \frac{\omega^2}{c^2} \\ \Rightarrow \beta &= \pm \sqrt{\varepsilon\mu} \frac{\omega}{c} \sqrt{\frac{1}{2} \left(\sqrt{\left(\frac{4\pi\sigma}{\omega\varepsilon}\right)^2} - 1\right)} \\ \Rightarrow \alpha &= \pm \sqrt{\varepsilon\mu} \frac{\omega}{c} \sqrt{\frac{1}{2} \left(\sqrt{\left(\frac{4\pi\sigma}{\omega\varepsilon}\right)^2} + 1\right)} \\ k = \alpha + i\beta \rightarrow |k| &= \sqrt{\alpha^2 - \beta^2} = \sqrt{\varepsilon\mu} \frac{\omega}{c} \sqrt{1 + \left(\frac{4\pi\sigma}{\omega\varepsilon}\right)^2} \\ \varphi = \arctan \frac{\beta}{\alpha} &= \frac{1}{2} \left(2 \arctan \frac{\beta}{\alpha}\right) = \frac{1}{2} \arctan \frac{2\frac{\beta}{\alpha}}{1 - \frac{\beta^2}{\alpha^2}} \\ &= \dots = \frac{1}{2} \arctan \frac{2\alpha\beta}{\alpha^2 - \beta^2} = \frac{1}{2} \arctan \left(\frac{4\pi\sigma}{\omega\varepsilon}\right)\end{aligned}$$

verallgemeinerter Brechungsindex

$$\begin{aligned}n &= \frac{c}{\omega} \alpha + i \frac{c}{\omega} \beta, k = \alpha + i\beta = \frac{\omega}{c} n = \frac{\omega}{c} (\Re(n) + i\Im(n)) \\ \exp\left(i\left(\vec{k} \vec{x} - \omega t\right)\right) &= \exp\left(i\omega\left(\frac{nx}{c} - t\right)\right) \\ &= \exp\left(i\omega(\Re(n))\frac{x}{c} - t\right) \exp\left(-\frac{\omega}{c} \Im(n)x\right)\end{aligned}$$

C.6. Wellengleichungen + retardierte Potentiale: Helmholtz Differentialgleichung

Verbindung zwischen Potenzialen ϕ , \vec{A} und Quellen ρ , \vec{j}

$$(\Delta \partial_{ct}^2)\phi = -4\pi\rho$$

$$(\Delta \partial_{ct}^2)A = -\frac{4\pi}{c}\vec{j}$$

in Lorenzgleichung:

$$\operatorname{div} \vec{A} + \partial_{ct}\phi = 0$$

Definiere neuen Operator: D'Alembert-Operator $\square = \Delta - \partial_{ct}^2 = (\nabla + \partial_{ct})(\nabla - \partial_{ct})$.

$$\rightarrow \square\phi = 4\pi\rho$$

$$\square\vec{A} = \frac{4\pi}{c}\vec{j}$$

Änderung in r , \vec{j} pflanzt sich mit Geschwindigkeit c fort \rightarrow Potentiale ϕ , \vec{A} können sich im Abstand R erst nach R/c ändern. \rightarrow zeitabhängige Green-Funktion.

Feldgleichungen haben die Form der Helmholtz-Differentialgleichung:

$$(\Delta - \partial_{ct}^2) \underbrace{\psi(\vec{x}, t)}_{\text{Potenzial}} = -4\pi \overbrace{Q(\vec{x}, t)}^{\text{Quelle}}$$

Fourier-Entwicklung:

$$\psi(\vec{x}, t) = \int \frac{d\omega}{2\pi} \psi(\vec{x}, \omega) e^{-i\omega t}$$

$$Q(\vec{x}, t) = \int \frac{d\omega}{2\pi} Q(\vec{x}, \omega) e^{-i\omega t}$$

$$\begin{aligned} (\Delta - \partial_{ct}^2)\psi(\vec{x}, t) &= \int \frac{d\omega}{2\pi} (\Delta - \partial_{ct}^2)\psi(\vec{x}, \omega) e^{-i\omega t} \\ &= \int \frac{d\omega}{2\pi} \left(\Delta - \left(\frac{\omega}{c}\right)^2 \right) \psi(\vec{x}, \omega) e^{-i\omega t} \\ &= \int \frac{d\omega}{2\pi} (-4\pi) Q(\vec{x}, \omega) e^{-i\omega t} \\ &= -4\pi Q(\vec{x}, t) \end{aligned}$$

Man erhält die Helmholtz-Differentialgleichung

$$\rightarrow \left(\Delta + \left(\frac{\omega}{c}\right)^2 \right) \psi = -4\pi Q(\vec{x}, t)$$

Green-Funktion:

$$(\Delta + k^2)G(\vec{x}, \vec{x}') = \delta_D(\vec{x} - \vec{x}')\delta_D(t - t')$$

~ löst Wellengleichung für eine Punktquelle bei \vec{x}' zur Zeit t' .

Green-Funktion für die Helmholtz-Differentialgleichung:

keine Randbedingungen: $G(\vec{x}, \vec{x}')$ hängt nur von r : $r = |\vec{x} - \vec{x}'|$

$$(\Delta + k^2)G(\vec{x}, \vec{x}') = \delta_D(\vec{x} - \vec{x}') = (\Delta + k^2)G(r) = \frac{1}{r^2} \frac{\partial}{\partial r} \left(r^2 \frac{\partial G}{\partial r} \right) + k^2 G = \delta_D(r)$$

$r \neq 0$: $\frac{d^2}{dr^2}(rG) + k^2(rG) = 0$, denn:

$$\frac{1}{r^2} \frac{d}{dr} \left(r^2 \frac{dG}{dr} \right) = \frac{1}{r^2} \left(r^2 \frac{d^2 G}{dr^2} \right) + \frac{2}{r} \frac{dG}{dr} = \frac{dG}{dr^2} + \frac{2}{r} \frac{dG}{dr} = \frac{1}{r} \frac{d^2}{dr^2}(rG) = \frac{1}{r} \frac{d}{dr} \left(G + r \frac{dG}{dr} \right)$$

Lösung der harmonischen Differentialgleichung:

$$rG = a_+ \exp(ikr) + a_- \exp(-ikr)$$

$$a_+ + a_- = 1 \rightarrow a_- = 1 - a_+$$

für Grenzfall $r \rightarrow 0$: $G \sim 1/r$

$$\rightarrow G(r) = G(|\vec{x} - \vec{x}'|) = a_+ G^+(|\vec{x} - \vec{x}'|) + a_- G^-(|\vec{x} - \vec{x}'|)$$

Falls $r \rightarrow 0$:

$$\frac{1}{r^2} \frac{\partial}{\partial r} \left(r^2 \frac{\partial G}{\partial r} \right) + k^2 G = \delta_D(r)$$

Physikalisches Argument: bei kleinen Abständen kann Retardation keine Rolle spielen; die Helmholtz-Differentialgleichung muss in Poisson-Differentialgleichung übergehen.

$$\lim_{kr \ll 1} G(r) = -\frac{1}{4\pi r}, \text{ als Lösung von: } \frac{1}{r^2} \frac{\partial}{\partial r} \left(r^2 \frac{\partial G}{\partial r} \right) = \delta_D(r)$$

$$\rightarrow G^+(|\vec{x} - \vec{x}'|) = -\frac{1}{4\pi} \frac{\exp(+ik|\vec{x} - \vec{x}'|)}{|\vec{x} - \vec{x}'|}$$

$$\rightarrow G^-(|\vec{x} - \vec{x}'|) = -\frac{1}{4\pi} \frac{\exp(-ik|\vec{x} - \vec{x}'|)}{|\vec{x} - \vec{x}'|}$$

volle Green-Funktion inklusive Zeitabhängigkeit:

$$G(\vec{x}, t, \vec{x}', t') = \int \frac{d\omega}{2\pi} G(\vec{x}, \omega, \vec{x}', t') \exp(-i\omega t)$$

$$(\Delta - \partial_{ct}^2)G = \int \frac{d\omega}{2\pi} (\Delta + k^2)G \exp(-i\omega t) = \delta_D(\vec{x} - \vec{x}') \int \frac{d\omega}{2\pi} \exp(-i\omega(t - t'))$$

$$\rightarrow (\Delta + k^2)G = \delta_D(\vec{x} - \vec{x}') \exp(+i\omega t')$$

$$\rightarrow G^\pm(\vec{x}, t, \vec{x}', t') = -\int \frac{d\omega}{2\pi} \frac{1}{4\pi} \frac{1}{|\vec{x} - \vec{x}'|} \exp\left(-i\omega\left(t - t' \pm \frac{|\vec{x} - \vec{x}'|}{c}\right)\right)$$

$$= -\frac{1}{4\pi} \frac{1}{|\vec{x} - \vec{x}'|} \delta_D\left(t - t' \mp \frac{|\vec{x} - \vec{x}'|}{c}\right)$$

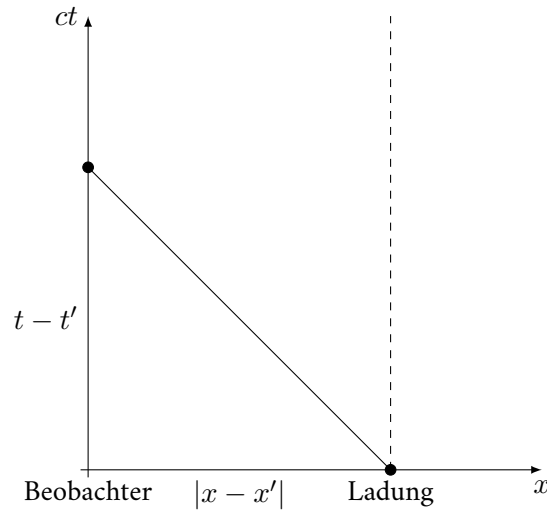
$$\psi^\pm(\vec{x}, t) = -4\pi \int dt' \int d^3x' G^\pm(\vec{x}, t, \vec{x}', t') Q(\vec{x}', t)$$

Retardierung:

$$t = t' + \frac{|\vec{x} - \vec{x}'|}{c} \text{ für „+“: } t > t'$$

↓

zusätzliche Zeit, die das Feld von \vec{x}' zu \vec{x} benötigt



C.7. Wellenfunktion und retardierte Potentiale: allgemeine Konstruktion

Wellengleichung:

$$(\Delta - \partial_{ct}^2)\psi = -4\pi Q(\vec{x}, t)$$

Green-Funktion für eine Punktquelle an der Stelle (\vec{x}', t')

$$(\Delta - \partial_{ct}^2)G(\vec{x}, t, \vec{x}', t') = -4\pi\delta_D(\vec{x} - \vec{x}')\delta_D(t - t')$$

$G(\vec{x}, t, \vec{x}', t')$ hängt nur von den Koordinatenabständen ab:

$$\begin{aligned}\rho &= |\vec{x} - \vec{x}'|, \vec{\rho} = \vec{x} - \vec{x}' \\ \tau &= t - t'\end{aligned}$$

durch Superposition:

$$\psi(x, t) = \int d^2x' \int dt G(\vec{x}, t, \vec{x}', t') Q(\vec{x}', t)$$

Darstellung von G und δ im Fourier-Raum:

$$\delta_D(\vec{x} - \vec{x}')\delta_D(t - t') = 4\pi \int \frac{d^3k}{(2\pi)^3} \int \frac{d\omega}{2\pi} \exp(i\vec{k}(\vec{x} - \vec{x}')) \exp(-i\omega(t - t'))$$

$$G(\vec{x}, t, \vec{x}', t') = \int \frac{d^3k}{(2\pi)^3} \int \frac{d\omega}{2\pi} G(\vec{k}, \omega) \exp(i\vec{k}(\vec{x} - \vec{x}')) \exp(-i\omega(t - t'))$$

mit $\square G = -4\pi\delta_D$

$$\square G(\vec{x}, t, \vec{x}', t) = \int \frac{d^3k}{(2\pi)^3} \int \frac{d\omega}{2\pi} G(\vec{k}, \omega) \left(-k^2 + \frac{\omega^2}{c^2}\right) \exp(i\vec{k}(\vec{x} - \vec{x}')) \exp(-i\omega t(t - t')) \stackrel{!}{=} -4\pi\delta_D$$

$$\rightarrow G(\vec{k}, \omega) = \frac{1}{4\pi} \frac{1}{k^2 - (\frac{\omega}{c})^2} = \frac{1}{4\pi} \frac{c^2}{(ck)^2 + \omega^2} \quad \text{nur definiert, falls } ck \neq \omega$$

$$\rightarrow G(\vec{x}, t, \vec{x}', t') = \int \frac{d^3k}{(2\pi^3)} \int \frac{d\omega}{2\pi} \frac{c^2}{(ck - \omega)(ck + \omega)} \exp(ik(\vec{x} - \vec{x}')) \exp(-i\omega(t - t'))$$

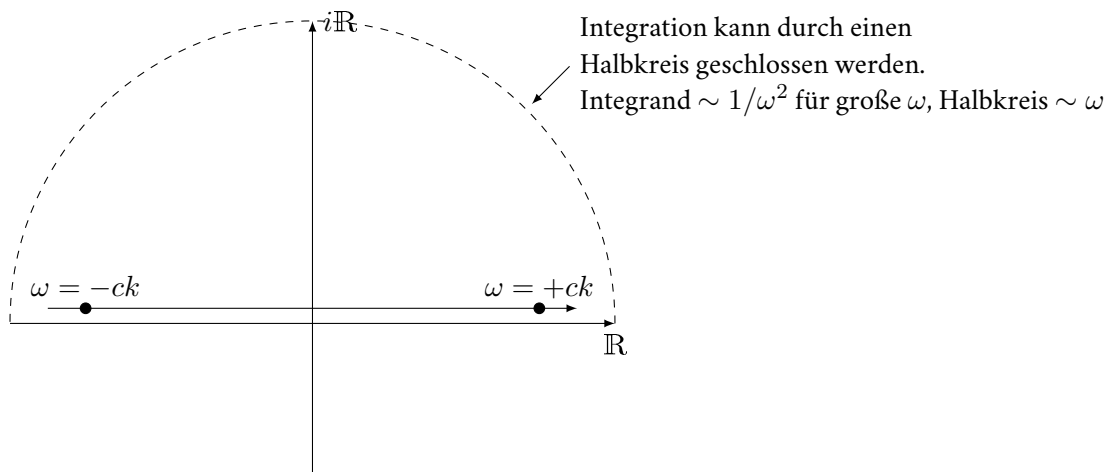
$\int d\omega$ -Integration hat 2 Pole bei $n = \pm ck \rightarrow$ analytische Fortsetzung nach \mathbb{C} zum Lösen des $\int d\omega$ Integrals

- $G(\vec{k}, z)$ komplex differenzierbar \sim holomorph (z : komplexes ω)
- $\oint_C dz G(z) = 0$, falls $G \sim$ holomorph + kein Pol von C umschlossen ist.
- Pol erster Ordnung an einer Stelle ξ :

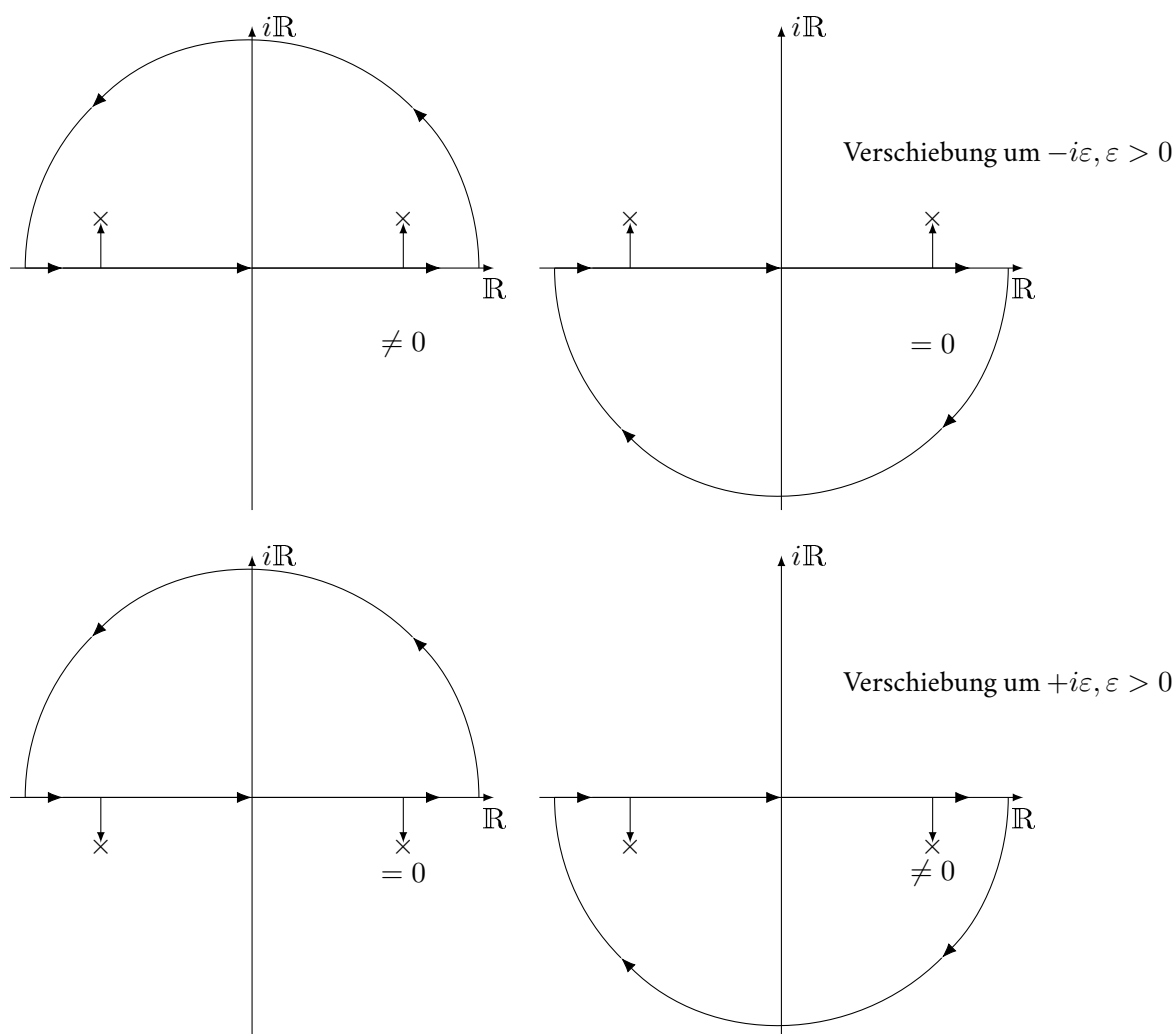
$$\lim_{z \rightarrow \xi} G(z)(z - \xi) = \text{Res } G(\xi)$$

- $\oint_C dz G(z) = 2\pi i \sum_n \text{Res } G(\xi_n)$ (mit den Polen ξ_n umschlossen von C)

Integration $\int d\omega$ in der komplexen Ebene

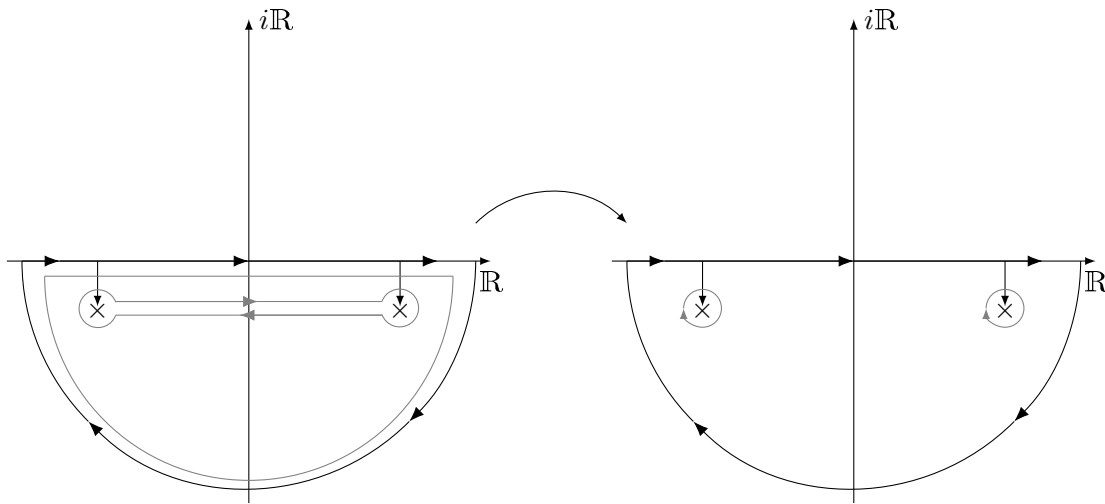


Integrationsweg für $\int d\omega \dots$ Möglichkeiten:



1. Integration liefert $= 0$, falls keine Pole umschlossen werden \rightarrow würde den Fall $t < t'$ beschreiben \rightarrow avancierte Potentiale
2. Integration liefert $\neq 0$, falls beide Pole umschlossen werden \rightarrow würde den Fall $t > t'$ beschreiben \rightarrow retardierte Potentiale

Wert der Integration \sim Summe der Residuen: um Holomorphiegebiet kann die Integrationskontur beliebig verformt werden, das Ergebnis hängt nur von den eingeschlossenen Polen ab. Verformung der Integrationskontur:



$$G(\vec{x}, t, \vec{x}', t') = \frac{c^2}{4\pi} \int \frac{d^3k}{(2\pi)^3} \int \frac{d\omega}{2\pi} \frac{\exp(i\vec{k}\rho + i\omega\tau)}{(ck)^2 - (\omega + i\varepsilon)^2}$$

Anwendung des Residuensatzes:

$$\begin{aligned} c^2k^2 - \omega^2 - 2i\varepsilon\omega + \varepsilon^2 &= -(\omega^2 + 2i\varepsilon\omega - c^2k^2 - \varepsilon^2) = -(\omega^2 + 2i\varepsilon ck - c^2k^2 - \varepsilon^2) \\ &= -(\omega + (ck - i\varepsilon))(\omega - (ck - i\varepsilon)) \end{aligned}$$

$$\oint_C d\omega \frac{\exp(-i\omega\tau)}{c^2k^2 - (\omega + i\varepsilon)^2} = - \oint_C d\omega \frac{\exp(-i\omega\tau)}{(\omega + (ck - i\varepsilon))(\omega - (ck - i\varepsilon))}$$

Dies hat zwei Pole: bei $\omega_1 = ck - i\varepsilon$ und $\omega_2 = -ck - i\varepsilon$

$$\begin{aligned} \text{Res}(\omega_1) &= c^2 \exp(-i\omega_1\tau) \lim_{\omega \rightarrow \omega_1} \frac{\omega - ck + i\varepsilon}{c^2k^2 - (\omega + i\varepsilon)^2} \\ &= c^2 \exp(-i\omega_1\tau) \lim_{\omega \rightarrow \omega_1} \frac{\omega - ck + i\varepsilon}{(ck + \omega + i\varepsilon)(ck - \omega + i\varepsilon)} \\ &= c^2 \exp(-i\omega_1\tau) \lim_{\omega \rightarrow \omega_1} \frac{\omega - \omega_1}{2ck(\omega_1 - \omega)} = -\frac{c}{2k} \exp(-ick\tau) \text{ mit } \varepsilon \rightarrow 0 \end{aligned}$$

$$\text{Res}(\omega_2) = \frac{c}{2k} \exp(+ick\tau)$$

$$\oint_C d\omega(\dots) = -2\pi i (\text{Res}(\omega_1) + \text{Res}(\omega_2)) = -2\pi \left(-\frac{c}{2k} \exp(-ick\tau) + \frac{c}{2k} \exp(ick\tau) \right) = \frac{2\pi c}{k} \sin(ck\tau)$$

Zeitabhängige Green-Funktion

$$G(\vec{\rho}, \tau) = \begin{cases} 0 & t < t' \\ \frac{c}{2\pi^2} \int \frac{d^3k}{(2\pi)^3} \exp(i\vec{k}\vec{\rho}) \frac{\sin(ck\tau)}{k} & t > t' \end{cases}$$

$\int d^3k$: Integration in Kugelkoordinaten;

$$d^3k = k^2 dk d(\cos\theta) d\varphi, \mu = \cos\theta, \theta = \angle(\vec{k}, \vec{\rho}), \vec{k} \cdot \vec{\rho} = k\rho \cos\theta = k\rho\mu, d\varphi = 2\pi$$

$$\begin{aligned} G(\vec{\rho}, \tau) &= \frac{c}{\pi} \int k^2 dk \int d\mu \exp(ik\rho\mu) \frac{\sin(ck\tau)}{k} = \frac{c}{\pi} \int k^2 dk \frac{\sin(ck\tau)}{k} \int_{-1}^{+1} d\mu \exp(ik\rho\mu) \\ &= \frac{2c}{\pi\rho} \int dk \sin(ck\tau) \sin(k\rho) \end{aligned}$$

Teil Y.
Differenziation und Integration komplexer
Funktionen

komplexe Funktionen $z = x + iy \rightarrow g(z) = u(x, y) + iv(x, y)$

Stetigkeit: $g(z)$ ist stetig in ξ , falls für jedes $\varepsilon > 0$ ein $\delta(\varepsilon) > 0$ existiert, sodass aus $|z - \xi| < \delta$ folgt $|g(z) - g(\xi)| < \varepsilon$.

Differenzierbarkeit: $g(z)$ ist komplex differenzierbar in ξ , falls

$$\lim_{z \rightarrow \xi} \frac{g(z) - g(\xi)}{z - \xi}$$

existiert und eindeutig ist $\equiv \left. \frac{dg}{dz} \right|_{\xi}$. Differenzierbarkeit von komplexen Funktionen hat viele Aspekte

- komplex differenzierbar: $\left. \frac{dg}{dz} \right|_{\xi}$ existiert und ist eindeutig
- analytisch: Cauchy-Riemann-Differentialgleichungen gelten
- regulär: $\oint_C dz g(z) = 0$ für eine geschlossene Kurve C
- holomorph: $\oint_C dz \frac{g(z)}{z - \xi} = g(\xi)$

Y.1. Cauchy-Riemann-Differentialgleichungen

$$\frac{dg}{dz} = \lim_{\Delta z \rightarrow 0} \frac{g(z + \Delta z) - g(z)}{\Delta z} \text{ muss unabhängig von der Richtung von } \Delta z \text{ sein}$$

$$\frac{dg}{dz} = \lim_{\Delta z \rightarrow 0} \frac{g(z + \Delta x) - g(z)}{\Delta x} = \frac{\partial g}{\partial x}$$

$$\frac{dg}{dz} = \lim_{\Delta z \rightarrow 0} \frac{g(z + i\Delta y) - g(z)}{i\Delta y} = \frac{1}{i} \frac{\partial g}{\partial y}$$

mit $g(z) = g(x + iy) = u(x, y) + iv(x, y)$:

$$\frac{\partial g}{\partial x} = \frac{\partial u}{\partial x} + i \frac{\partial v}{\partial x} = \frac{1}{i} \frac{\partial g}{\partial y} = \frac{1}{i} \left(\frac{\partial u}{\partial y} + i \frac{\partial v}{\partial y} \right) = \frac{\partial v}{\partial y} - i \frac{\partial u}{\partial y}$$

Cauchy-Riemann-Differentialgleichungen:

$$\frac{\partial u}{\partial x} = \frac{\partial v}{\partial y}$$

$$\frac{\partial v}{\partial x} = -\frac{\partial u}{\partial y}$$

$$\left(\frac{\partial}{\partial x} + i \frac{\partial}{\partial y} \right) g = 0$$

Y.2. Linienintegrale

mit Parametrisierung $z(\lambda)$

$$\int_C dz g(z) = \int_a^b d\lambda g(z(\lambda)) \frac{dz}{d\lambda}$$

$$\int_{-C} dz g(z) = \int_b^a d\lambda g(z(\lambda)) \frac{dz}{d\lambda} = - \int_a^b d\lambda g(z(\lambda)) \frac{dz}{d\lambda} = - \int_C dz g(z)$$

geschlossene Kurve: $z(\lambda = a) = z(\lambda = b)$. Für analytische Funktionen

$$\oint dzg(z) = \int_{C_1} dzg(z) + \int_{-C_2} dzg(z) = 0$$

geschlossene Integrale = 0 \iff Wegunabhängigkeit \rightarrow Cauchy-Theorem

$$\begin{aligned}\oint dzg(z) &= \oint (dx + idy)(u + iv) \\ &= \oint (dxu - dyv) + i \oint (dxv + dyu)\end{aligned}$$

lustiges Argument: Satz von Stokes

$$\begin{aligned}\vec{R} &= (u, -v, 0), \vec{I} = (v, u, 0) \quad \text{und} \quad d\vec{r} = (dx, dy, dz) \\ \oint_{\partial S} dzg(z) &= \oint d\vec{r} \cdot \vec{R} + i \oint d\vec{r} \cdot \vec{I}\end{aligned}$$

mit 1. Cauchy-Riemann-Differentialgleichung:

$$\oint d\vec{r} \cdot \vec{R} = \int_S d\vec{S} \operatorname{rot} \vec{R} = - \int_S dx dy \left(\frac{\partial v}{\partial x} + \frac{\partial u}{\partial y} \right) = 0$$

mit 2. Cauchy-Riemann-Differentialgleichung:

$$\oint d\vec{r} \cdot \vec{I} = \int_S d\vec{S} \operatorname{rot} \vec{I} = - \int_S dx dy \left(\frac{\partial u}{\partial x} - \frac{\partial v}{\partial y} \right) = 0$$

Y.3. Cauchy-Theorem und holomorphe Funktionen

$$g(z) = \frac{1}{2\pi} \oint_C d\xi \frac{g(\xi)}{\xi - z}$$

Werte von

$$\frac{g(\xi)}{\xi - z}$$

auf C ausreichend um $g(z)$ zu bestimmen „holomorph“

$$\begin{aligned}\frac{1}{2\pi i} \oint_C d\xi \frac{g(\xi)}{\xi - z} &= \frac{1}{2\pi i} \oint_C \frac{g(z) + g(\xi) - g(z)}{\xi - z} \\ &= \frac{1}{2\pi i} \oint_C d\xi \frac{g(z)}{\xi - z} + \frac{1}{2\pi i} \oint_C d\xi \frac{g(\xi) - g(z)}{\xi - z} \\ &= \frac{g(z)}{2\pi i} \underbrace{\oint_C d\xi \frac{1}{\xi - z}}_1 + \frac{1}{2\pi i} \underbrace{\oint_C d\xi \frac{g(\xi) - g(z)}{\xi - z}}_2\end{aligned}$$

1. Integral: $\xi \rightarrow \xi - z, d\xi \rightarrow d(\xi - z)$. Substitution und Integration entlang Einheitskreis

$$\begin{aligned}\int \frac{d\xi}{\xi} &= \int_0^{2\pi} d\lambda \frac{-\sin \lambda + i \cos \lambda}{\cos \lambda + i \sin \lambda} = \int_0^{2\pi} d\lambda \frac{-\sin \lambda + i \cos \lambda}{\cos \lambda + i \sin \lambda} \frac{\cos \lambda - i \sin \lambda}{\cos \lambda - i \sin \lambda} \\ &= \int_0^{2\pi} d\lambda (-\sin \lambda \cos \lambda + \cos \lambda \sin \lambda) + i(\sin^2 \lambda + \cos^2 \lambda) = 2\pi i\end{aligned}$$

2. Integral

$$\begin{aligned} \left| \frac{1}{2\pi i} \oint_C d\xi \frac{g(\xi) - g(z)}{\xi - z} \right| &\leq \frac{1}{2\pi i} \left| \oint_C d\xi \frac{|g(\xi) - g(z)|}{|\xi - z|} \right| \\ &\leq \frac{\varepsilon}{2\pi i} \left| \oint_C \frac{d\xi}{\xi - z} \right| = \frac{\varepsilon}{|2\pi i|}, \text{ falls } |g(\xi) - g(z)| < \varepsilon \text{ (Stetigkeit)} \end{aligned}$$

insgesamt erhalt man

$$\frac{1}{2\pi i} \oint_C d\xi \frac{g(\xi)}{\xi - z} = \frac{g(z)}{2\pi i} 2\pi i + \frac{\varepsilon}{|2\pi i|} = g(z) \text{ falls } \varepsilon \text{ klein genug gewahlt wird}$$

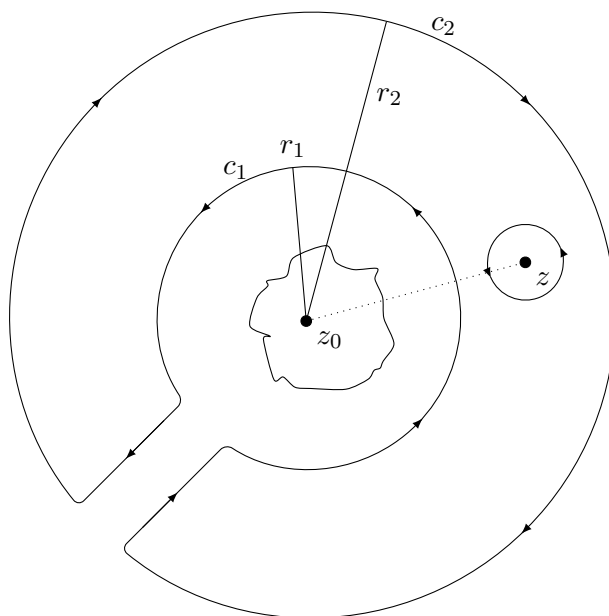
Verallgemeinerung des Cauchy-Theorems durch Induktion

$$\frac{d^n g}{dz^n} = \frac{n!}{2\pi i} \oint_C d\xi \frac{g(\xi)}{(\xi - z)^n}$$

aus Taylor-Entwicklung

$$g(z) = g(\xi) + \frac{dg}{dz}(z - \xi) + \dots$$

Y.4. Laurent-Reihen - komplexe Potenzreihen



$$r_1 < |z - z_0| \equiv r < r_2$$

umgekehrter Umlaufsinn

$$g(z) = \underbrace{\frac{1}{2\pi i} \oint_{C_1} d\xi \frac{g(\xi)}{\xi - z}}_{\text{Cauchy-Theorem: } C_2 \text{ enthalt } z} \overset{\uparrow}{=} \underbrace{\frac{1}{2\pi i} \oint_{C_1} d\xi \frac{g(\xi)}{\xi - z}}_{= 0, C_1 \text{ enthalt } z \text{ nicht, kein Pol}}$$

Konstruktion einer Reihe ausgehend von ξ auf C_1 (1. Integral):

$$\frac{1}{\xi - z} = \frac{1}{\xi - z_0} \frac{1}{1 - \frac{z-z_0}{\xi-z_0}} \stackrel{\downarrow}{=} \frac{1}{\xi - z_0} \sum_n \left(\frac{z-z_0}{\xi-z_0} \right)^n$$

geometrische Reihe

$$q = \left| \frac{z-z_0}{\xi-z_0} \right| = \frac{r}{r_2} < 1 \rightarrow \sum_n q^n = \frac{1}{1-q}$$

Konstruktion einer Reihe ausgehend von ξ auf C_1 (2. Integral)

$$\frac{1}{\xi - z} = \frac{1}{z - z_0} \frac{1}{1 - \frac{\xi-z_0}{z-z_0}} = \frac{1}{z - z_0} \sum_n \left(\frac{\xi - z_0}{z - z_0} \right)^n$$

wieder geometrische Reihe:

$$q = \left| \frac{\xi - z_0}{z - z_0} \right| = \frac{r_1}{r} < 1 \rightarrow \sum_n q^n = \frac{1}{1-q}$$

$$g(z) = \frac{1}{2\pi i} \oint_{C_2} d\xi g(\xi) \sum_n \frac{(z-z_0)^n}{(\xi-z_0)^{n+1}} - \frac{1}{2\pi i} \oint_{C_1} d\xi g(\xi) \sum_n \frac{(\xi-z_0)^n}{(z-z_0)^{n-1}}$$

$$= \sum_n (z-z_0)^n \underbrace{\frac{1}{2\pi i} \oint_{C_2} d\xi \frac{g(\xi)}{(\xi-z_0)^{n+1}}}_{=a_{-(n+1)}} - \sum_n (z-z_0)^{-(n+1)} \underbrace{\frac{1}{2\pi i} \oint_{C_1} d\xi g(\xi) (\xi-z_0)^n}_{=a_n}$$

$$\rightarrow g(z) = \sum_{n=-\infty}^{+\infty} a_n (z-z_0)^n \quad \text{Laurent-Reihe}$$

mit den Koeffizienten

$$a_n = \frac{1}{2\pi i} \oint_C d\xi g(\xi) (\xi - z_0)^{-(n+1)}$$

falls $n = -1$:

$$a_{-1} = \frac{1}{2\pi i} \oint_{C_2} d\xi g(\xi) = \text{Res } g(z_0) \quad \text{„Residuum“}$$

egal ob Integral über C_1 oder C_2 , beide enthalten Punkte z_0

$$\rightarrow g(z) = -\dots - \frac{a_{-n}}{(z-z_0)^n} - \dots - \frac{a_{-1}}{z-z_0} + a_0 + a_1(z-z_0) + \dots + a_n(z-z_0)^n + \dots$$

falls die Laurent-Reihe bei einem n abbricht, spricht man von einem Pol der Ordnung n .

Y.5. Residuensatz → Berechnung von a_{-1}

wir nehmen eine Reihe, die bei n abbricht

$$\begin{aligned}
 g(z) &= -\frac{a_{-n}}{(z-z_0)^n} - \dots - \frac{a_{-1}}{z-z_0} + a_0 + a_1(z-z_0) + \dots \\
 g(z)(z-z_0)^n &= -a_n - \dots - a_{-1}(z-z_0)^{n-1} + a_0(z-z_0) + \dots \\
 \frac{d^{n-1}}{dz^{n-1}}(g(z)(z-z_0)^n) &= \underbrace{0 - \dots - a_{-1}(n-1)!}_{\text{alle}=0} + \underbrace{a_0(z-z_0)^n(n-1)!}_{\text{endlich}} + \dots \\
 &= \underbrace{a_0(z-z_0)^n(n-1)!}_{=0 \text{ falls } z=z_0} + \dots \\
 \rightarrow a_{-1} &= \frac{1}{(n-1)!} \frac{d^{n-1}}{dz^{n-1}}((z-z_0)^n g(z)) \Big|_{z=z_0} \\
 \text{anstatt } a_{-1} &= \frac{1}{2\pi i} \oint_C d\xi g(\xi)
 \end{aligned}$$

Berechnung von Residuen: $g(z) = 1/z$ (Klassiker) an der Stelle 0:

$$\begin{aligned}
 \oint_C d\xi g(\xi) &= \oint_C \frac{d\xi}{\xi} = i \int_0^{2\pi} d\lambda \frac{\exp(i\lambda)}{\exp(i\lambda)} = 2\pi i \quad (\text{oder kartesisch}) \\
 a_{-1} &= \frac{1}{(n-1)!} \frac{d^{n-1}}{dz^{n-1}}((z-z_0)^n g(z)) \Big|_{z=z_0}
 \end{aligned}$$

Potenzen von z zum „Killen“ der Singularität

$$\begin{aligned}
 n = 1 &: \frac{1}{0!} \frac{d^0}{dz^0} \left(z \frac{1}{z} \right) \Big|_{z=0} = 1 \\
 n = 2 &: \frac{1}{1!} \frac{d^1}{dz^1} \underbrace{\left(z^2 \frac{1}{z} \right)}_{=z} \Big|_{z=0} = 1 \\
 n = 3 &: \frac{1}{2!} \frac{d^2}{dz^2} \underbrace{\left(z^3 \frac{1}{z} \right)}_{=z^2} \Big|_{z=0} = 1 \checkmark
 \end{aligned}$$

Y.6. Laplace-Gleichung in 2D

Komplexe Funktion $g(z) = u(x + iy) + iv(x + iy)$

$$\begin{aligned}
 &\partial_x \partial_y = \partial_y \partial_x \\
 \frac{\partial^2 u}{\partial x^2} &\stackrel{\text{Cauchy Riemann 1}}{=} \frac{\partial}{\partial x} \frac{\partial v}{\partial y} \stackrel{\text{Cauchy Riemann 2}}{=} \frac{\partial}{\partial y} \frac{\partial v}{\partial x} \stackrel{\text{Cauchy Riemann 2}}{=} -\frac{\partial^2 u}{\partial y^2} \rightarrow \underbrace{\left(\frac{\partial^2}{\partial x^2} + \frac{\partial^2}{\partial y^2} \right)}_{=\Delta \text{ in 2D}} u = 0 \\
 &\partial_x \partial_y = \partial_y \partial_x \\
 \frac{\partial^2 v}{\partial x^2} &\stackrel{\text{Cauchy Riemann 2}}{=} \frac{\partial}{\partial x} \left(-\frac{\partial u}{\partial y} \right) \stackrel{\text{Cauchy Riemann 2}}{=} -\frac{\partial}{\partial y} \frac{\partial u}{\partial x} \stackrel{\text{Cauchy Riemann 2}}{=} -\frac{\partial^2 v}{\partial y^2} \rightarrow \underbrace{\left(\frac{\partial^2}{\partial x^2} + \frac{\partial^2}{\partial y^2} \right)}_{=\Delta \text{ in 2D}} v = 0
 \end{aligned}$$

Anwendung in Potezialproblemen mit Dirilecht-Randbedingungen: $u = \text{const.} = \phi$. Abbildungen für „komplexe“ Geometrie.

$\Delta\phi = 0$ ist in 2D invariant unter Abbildungen

$$\begin{aligned} z = x + iy &\xrightarrow{g} W = u + iv \\ z = G(w) &\rightarrow [G]W = g(z) : g(x, y) = G(u(x, y), v(x, y)) \end{aligned}$$

g ist analytisch (Cauchy-Riemann-Differentialgleichungen gelten) und umkehrbar

$$\begin{aligned} \frac{\partial g}{\partial x} &= \frac{\partial u}{\partial x} \frac{\partial G}{\partial u} + \frac{\partial v}{\partial x} \frac{\partial G}{\partial v} \\ \frac{\partial^2 g}{\partial x^2} &= \frac{\partial}{\partial x} \left(\frac{\partial u}{\partial x} \frac{\partial G}{\partial u} \right) + \frac{\partial}{\partial x} \left(\frac{\partial v}{\partial x} \frac{\partial G}{\partial v} \right) \\ &= \left(\frac{\partial u}{\partial x} \right)^2 \frac{\partial^2 G}{\partial u^2} + \frac{\partial u}{\partial x} \frac{\partial v}{\partial x} \frac{\partial^2 G}{\partial u \partial v} + \frac{\partial^2 u}{\partial x^2} \frac{\partial G}{\partial u} \\ &\quad + \left(\frac{\partial v}{\partial x} \right)^2 \frac{\partial^2 G}{\partial v^2} + \frac{\partial v}{\partial x} \frac{\partial u}{\partial x} \frac{\partial^2 G}{\partial u \partial v} + \frac{\partial^2 v}{\partial x^2} \frac{\partial G}{\partial v} \\ \frac{\partial g}{\partial y} &= \frac{\partial u}{\partial y} \frac{\partial G}{\partial u} + \frac{\partial v}{\partial y} \frac{\partial G}{\partial v} \\ \frac{\partial^2 g}{\partial y^2} &= \frac{\partial}{\partial y} \left(\frac{\partial u}{\partial y} \frac{\partial G}{\partial u} \right) + \frac{\partial}{\partial y} \left(\frac{\partial v}{\partial y} \frac{\partial G}{\partial v} \right) \\ &= \left(\frac{\partial v}{\partial x} \right)^2 \frac{\partial^2 G}{\partial u^2} + \frac{\partial v}{\partial y} \frac{\partial u}{\partial y} \frac{\partial^2 G}{\partial u \partial v} + \frac{\partial^2 u}{\partial y^2} \frac{\partial G}{\partial u} \\ &\quad + \left(\frac{\partial v}{\partial y} \right)^2 \frac{\partial^2 G}{\partial v^2} + \frac{\partial u}{\partial y} \frac{\partial v}{\partial y} \frac{\partial^2 G}{\partial u \partial v} + \frac{\partial^2 v}{\partial y^2} \frac{\partial G}{\partial v} \\ \frac{\partial^2 g}{\partial x^2} + \frac{\partial^2 g}{\partial y^2} &= \frac{\partial^2 G}{\partial u^2} \left(\left(\frac{\partial u}{\partial x} \right)^2 + \left(\frac{\partial u}{\partial y} \right)^2 \right) + \frac{\partial^2 G}{\partial v^2} \left(\left(\frac{\partial v}{\partial x} \right)^2 + \left(\frac{\partial v}{\partial y} \right)^2 \right) \\ &\quad + 2 \frac{\partial^2 G}{\partial u \partial v} \underbrace{\left(\frac{\partial u}{\partial x} \overbrace{\frac{\partial v}{\partial x}}^{=-\partial u/\partial y} + \frac{\partial u}{\partial y} \overbrace{\frac{\partial v}{\partial y}}^{=\partial u/\partial x} \right)}_{\rightarrow 0} \\ &\quad + \frac{\partial G}{\partial u} \underbrace{\left(\overbrace{\frac{\partial^2 u}{\partial x^2}}^{-\frac{\partial^2 v}{\partial x \partial y}} + \overbrace{\frac{\partial^2 u}{\partial y^2}}^{-\frac{\partial^2 v}{\partial x \partial y}} \right)}_{\rightarrow 0} + \frac{\partial G}{\partial v} \underbrace{\left(\overbrace{\frac{\partial^2 v}{\partial x^2}}^{-\frac{\partial^2 u}{\partial x \partial y}} + \overbrace{\frac{\partial^2 v}{\partial y^2}}^{-\frac{\partial^2 u}{\partial x \partial y}} \right)}_{\rightarrow 0} \\ &= \left(\left(\frac{\partial u}{\partial x} \right)^2 + \left(\frac{\partial u}{\partial y} \right)^2 \right) \left(\frac{\partial^2 G}{\partial u^2} + \frac{\partial^2 G}{\partial v^2} \right) \end{aligned}$$

$\Delta g = 0 \rightarrow \Delta G = 0$, Laplace-Gleichung wird in dem Koordinaten z und ω gelöst.

Teil C.
Fortsetzung elektromagnetische Wellen

C.8. Dispersion von Wellen

Dispersionsrelation von Wellen in einem Medium:

$$\omega(k) = \frac{ck}{u(k)}, k(\omega) = \frac{\omega}{n(\omega)c}$$

$$\rightarrow \text{Phasengeschwindigkeit: } v_{ph} = \frac{\omega(k)}{k} = \frac{c}{u(k)}$$

$$\begin{aligned} \rightarrow \text{Gruppengeschwindigkeit: } v_{gr} &= \frac{\partial \omega}{\partial k} = \left(\frac{\partial k}{\partial \omega} \right)^{-1} = \left(\frac{\partial}{\partial \omega} \left(\frac{n(\omega)\omega}{c} \right) \right)^{-1} \\ &= \left(\frac{\partial u}{\partial \omega} \frac{\omega}{c} + \frac{n(\omega)}{c} \right)^{-1} \\ v_{gr} &= \frac{c}{n(\omega) + \omega \frac{\partial n}{\partial \omega}} \end{aligned}$$

Normale Dispersion:

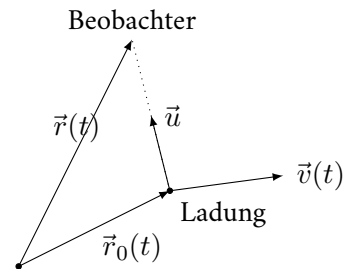
$$\frac{dn}{d\omega} > 0 \rightarrow \frac{d\omega}{dk} < \frac{\omega}{k}$$

alles in Ordnung, Energiefluss ist langsamer als c .

C.9. Liénard-Wiechert-Potential

retardierte Potentiale von Punktladungen

$$\begin{aligned} \rho(\vec{r}, t) &= q \delta_D(\vec{r} - \vec{r}_0(t)) \\ \vec{j}(\vec{r}, t) &= q \vec{v}(t) \delta_D(\vec{r} - \vec{r}_0(t)) \end{aligned}$$



$$\begin{aligned} \phi(\vec{r}, t) &= q \int dt' \int d^3r' \frac{1}{|\vec{r} - \vec{r}'|} \delta_D(\vec{r}' - \vec{r}_0) \delta_D\left(t' - t + \frac{|\vec{r} - \vec{r}'|}{c}\right) \\ \text{aus } \psi(\vec{r}, t) &= \int dt' \int d^3r' \frac{Q(\vec{r}', t')}{|\vec{r} - \vec{r}'|} \delta_D\left(t - t' - \frac{|\vec{r} - \vec{r}'|}{c}\right) \\ \phi(\vec{r}, t) &= q \int dt \frac{1}{|\vec{r} - \vec{r}_0(t')|} \delta_D\left(t - t' + \underbrace{\frac{|\vec{r} - \vec{r}_0(t')|}{c}}_{\equiv u}\right) \\ \frac{du}{dt'} &= 1 - \frac{\vec{u}(t') \cdot \vec{v}(t')}{c} \text{ mit } \vec{u}(t') = \frac{\vec{r} - \vec{r}_0(t')}{|\vec{r} - \vec{r}_0(t')|} \end{aligned}$$

fixiert $u = 0$ oder $t = t' + |r - r_0|/c$

$$\begin{aligned} dt' &= \frac{du}{1 - \frac{\vec{u}(u) \cdot \vec{v}(u)}{c}} \\ \phi(\vec{r}, t) &= q \int du \frac{1}{|\vec{r} - \vec{r}_0(u)|} \frac{1}{1 - \frac{\vec{u}(u) \cdot \vec{v}(u)}{c}} \delta(u) \text{ Feld einer bewegten Punktladung} \end{aligned}$$

Ausdruck für die retardierten Potentiale

$$\phi(\vec{r}, t) = q \frac{1}{|\vec{r} - \vec{r}_0(t')|} \frac{1}{1 - \frac{\vec{u}(t') \cdot \vec{v}(t')}{c}} \Big|_{t'=t - \frac{|\vec{r} - \vec{r}_0(t')|}{c}}$$

$$\vec{A}(\vec{r}, t) = q \frac{\vec{v}(t)}{c} \frac{1}{|\vec{r} - \vec{r}_0(t')|} \frac{1}{1 - \frac{\vec{u}(t') \cdot \vec{v}(t')}{c}} \Big|_{t'=t - \frac{|\vec{r} - \vec{r}_0(t')|}{c}}$$

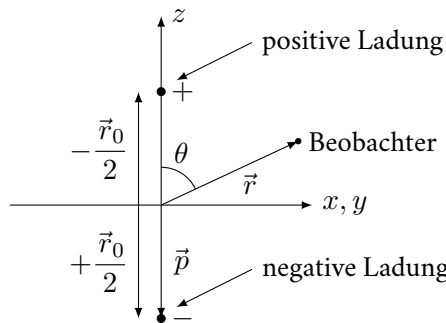
C.10. Hertz-Dipol → Feld eines zeitabhängigen Dipols

kleine Umformung der Liénard-Wiechert-Potentiale

$$\phi(\vec{r}, t) = \frac{q}{|\vec{r} - \vec{r}_0(t')| - \frac{\vec{r} - \vec{r}_0(t')}{|\vec{r} - \vec{r}_0(t')|} \frac{\vec{v}(t')}{c}} \Big|_{t' = t - \frac{|\vec{r} - \vec{r}_0(t')|}{c}}$$

$$A(\vec{r}, t) = \frac{q \frac{\vec{v}(t')}{c}}{|\vec{r} - \vec{r}_0(t')| - \frac{\vec{r} - \vec{r}_0(t')}{|\vec{r} - \vec{r}_0(t')|} \frac{\vec{v}(t')}{c}} \Big|_{t' = t - \frac{|\vec{r} - \vec{r}_0(t')|}{c}}$$

Bedingung für die retardierte Zeit implizit gegeben

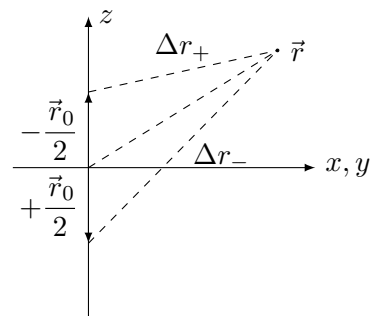


$$q \vec{v}(t) = -\frac{q}{2} \dot{\vec{r}}_0 + \frac{q}{2} (-\dot{\vec{r}}_0) = -q \dot{\vec{r}}_0 = \dot{\vec{p}}$$

mit Dipolmoment $\vec{p} = -q \dot{\vec{r}}_0$. Kanonische Schwingung mit der Frequenz:

$$\frac{v}{c} = \frac{2r_{0,\max}}{\Delta t c} = \frac{r_{0,\max} \omega}{\pi c} \rightarrow \frac{v}{c} = \frac{2}{\lambda} r_{0,\max}$$

$$\begin{cases} \Delta \vec{r}_-(t') = \vec{r} - \frac{1}{2} \vec{r}_0(t') \\ \Delta \vec{r}_+(t') = \vec{r} + \frac{1}{2} \vec{r}_0(t') \\ \Delta \vec{r}_-(t') + \vec{r}_+(t') = 2\vec{r} \\ \Delta \vec{r}_-(t') - \vec{r}_+(t') = -\vec{r}_0 \end{cases}$$



Substitution in die Ausdrücke für die Liénard-Wiechert-Potentiale

$$\phi(\vec{r}, t) = \frac{-q}{\Delta \vec{r}_-(t') - \frac{\Delta \vec{r}_-(t')}{|\Delta \vec{r}_-(t')|} \frac{\dot{\vec{r}}_0(t')}{2c}} \Big|_{t'=t - \frac{|\Delta \vec{r}_-(t')|}{c}} + \frac{-q}{\Delta \vec{r}_+(t') - \frac{\Delta \vec{r}_+(t')}{|\Delta \vec{r}_+(t')|} \frac{\dot{\vec{r}}_0(t')}{2c}} \Big|_{t'=t - \frac{|\Delta \vec{r}_+(t')|}{c}}$$

$$\vec{A}(\vec{r}, t) = \text{analoger Ausdruck mit Strom } \pm q \frac{\dot{\vec{r}}_0}{2c} = \vec{j}$$

- falls der Beobachter **weit** von der Quelle entfernt ist, gilt

$$\Delta \vec{r}_{\pm} = \vec{r} \pm \frac{1}{2} \vec{r}_0 \approx \vec{r}$$

überall, wo Δr_{\pm} vorkommt. → Skala: Dipol \vec{r}_0 ; Abstand \gg Länge des Dipols.

- langsame Bewegung des Dipols $\frac{v}{c} \ll 1$ (wegen der $\dot{\vec{r}}_0$ im Zähler) → Skala

$$\lambda = \frac{2\pi}{\omega} c \ll r_0$$

Wellenlänge \ll Länge des Dipols

$$\vec{A}(\vec{r}, t) = \frac{-q \frac{\dot{\vec{r}}_0(t')}{c}}{|\vec{r}|} = \frac{\dot{\vec{p}}(t')}{cr} \Big|_{t'=t-\frac{|\vec{r}|}{c}}$$

weil:

1. $|\Delta \vec{r}_{-}| = |\Delta \vec{r}_{+}| \approx r$ und
2. $\dot{\vec{r}}_0$ im Zähler Terme der Ordnung $(\frac{v}{c})^2$ erzeugt.

Lorenz-Eichbedingung: $\text{div } \vec{A} + \partial_{ct} \phi = 0 \rightarrow$

$$\begin{aligned} \partial_{ct} \phi &= -\text{div} \left(\frac{\dot{\vec{p}}(t - \frac{r}{c})}{cr} \right) \\ \phi &= -\int dt \text{div} \left(\frac{\dot{\vec{p}}(t - \frac{r}{c})}{r} \right) = -\text{div} \left(\frac{1}{r} \int dt \dot{\vec{p}}(t - \frac{r}{c}) \right) = -\text{div} \left(\frac{\vec{p}}{r} \right) \\ &= \underbrace{\frac{\dot{\vec{p}} \cdot \vec{r}}{cr^2}}_{\propto \frac{1}{r}} + \underbrace{\frac{\vec{p} \cdot \vec{r}}{r^3}}_{\propto \frac{r^2}{r^3}} \\ \vec{p}(t(\vec{r})), t(r) &= t - \frac{|\vec{r}|}{c} \\ \nabla \vec{p} &= \frac{\partial t}{\partial r} \frac{\partial \vec{p}}{\partial t} = \frac{1}{c} \frac{\vec{r}}{r} \dot{\vec{p}} \end{aligned}$$

Nahbereich um den Dipol

$r \ll \lambda$

$$\phi = \frac{\vec{p} \cdot \vec{r}}{r^3}, \quad \frac{\dot{\vec{p}} \cdot \vec{r}}{cr^2} \text{ vernachlässigt}$$

Fernbereich um den Dipol

$r \gg \lambda$

$$\phi = \frac{\dot{\vec{p}} \cdot \vec{r}}{cr^2}, \quad \frac{\vec{p} \cdot \vec{r}}{r^3} \text{ vernachlässigt} \quad \text{Felder:}$$

Dipolpotenzial mit $\phi \sim 1/r^2$ proportional zu \vec{p}

zeitabhängiger Dipol mit $\phi \sim 1/r$ proportional zu $\dot{\vec{p}}$

$\vec{B} = \text{rot } \vec{A}$ und $\vec{E} = -\partial_{ct} \vec{A} - \nabla \phi$. Nach längerer Rechnung erhält man

$$\begin{aligned} \vec{E} &= -\frac{\ddot{\vec{p}}}{c^2 r} - \frac{\dot{\vec{p}}}{cr} + \frac{3(\dot{\vec{p}} \cdot \vec{r}) \vec{r}}{cr^4} + \frac{(\ddot{\vec{p}}) \vec{r}}{c^2 r^3} + \frac{3(\vec{p} \cdot \vec{r}) \vec{r}}{r^5} - \frac{\vec{p}}{r^3} \\ \vec{B} &= \frac{\ddot{\vec{p}} \times \vec{r}}{c^2 r^2} + \frac{\dot{\vec{p}} \times \vec{r}}{cr^3} \end{aligned}$$

Es existiert kein statischer Anteil in B !

Nahbereich (keine Retardierung → Feld folgt instantan)

$$\vec{E} = \frac{3(\vec{p}\vec{r})\vec{r}}{r^5} - \frac{\vec{p}}{r^3}$$

$$\vec{B} = \frac{\dot{\vec{p}} \times \vec{r}}{cr^3}$$

Fernbereich (führende Terme in $1/r$):

$$\vec{E} = -\frac{\ddot{\vec{p}}}{cr} + \frac{(\ddot{\vec{p}} \cdot \vec{r})\vec{r}}{c^2 r^3} = \frac{1}{c^2 r^3} (\ddot{\vec{p}} \times \vec{r}) \times \vec{r} \quad \text{wegen Grassman-Identität}$$

$$\vec{B} = \frac{\ddot{\vec{p}} \times \vec{r}}{c^2 r^2}$$

$$\rightarrow \vec{E} = \frac{\vec{B} \times \vec{r}}{r}$$

wechselseitig orthogonal im Fernbereich. Felder $\sim 1/r \rightarrow$ Energiedichte $\sim 1/r^2$

Poynting-Vektor des Hertz-Dipols → Energietransport.

$$\vec{S} = \frac{c}{4\pi} \vec{E} \times \vec{B} = \frac{c}{4\pi} \left(\vec{B} \times \frac{\vec{r}}{r} \right) \times \vec{B} = \frac{c}{4\pi} \left(\vec{B}^2 \frac{\vec{r}}{r} - \frac{\vec{B}\vec{r}}{r} \vec{B} \right)$$

Orthogonalität: $\vec{B}\vec{r} = 0$ im Fernbereich

$$\vec{S} = \frac{c}{4\pi} \vec{B}^2 \frac{\vec{r}}{r} = \frac{c}{4\pi} \frac{(\ddot{\vec{p}} \times \vec{r})^2}{c^4 r^4} \frac{\vec{r}}{r} = \frac{|\ddot{\vec{p}}|^2}{4\pi c^3 r^2} \sin^2 \theta$$

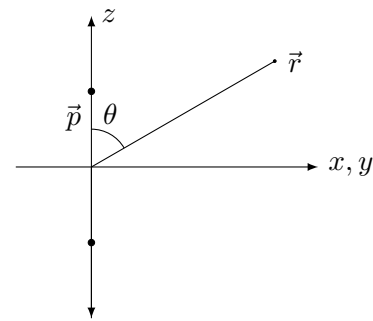
Nahbereich: Orthogonalität nicht gegeben:

$$\vec{S} = \frac{c}{4\pi} \left(\frac{3(\vec{p}\vec{r})\vec{r}}{r^5} - \frac{\vec{p}}{r^3} \right) \times \left(\frac{\dot{\vec{p}} \times \vec{r}}{cr^3} \right)$$

$$= \frac{1}{4\pi r^8} (3(\vec{p} \cdot \vec{r})\vec{r} - r^2\vec{p}) \times (\dot{\vec{p}} \times \vec{r})$$

$$= \frac{1}{4\pi r^8} (3(\vec{p} \cdot \vec{r})\vec{r} (r^2\dot{\vec{p}} - (\vec{r}\dot{\vec{p}})\vec{r}) - r^2((\vec{r} \cdot \vec{p})\dot{\vec{p}} - (\vec{p} \cdot \dot{\vec{p}})\vec{r}))$$

$$= \frac{1}{4\pi r^8} (2(\vec{p} \cdot \vec{r})r^2\dot{\vec{p}} \mp p\dot{p}r^2(3\cos\theta + 1)\vec{r})$$



keine Strahlung um die Dipolachse!

abgestrahlte Energie: Integration über eine Kugel mit Radius R

$$E = \frac{1}{\Delta t} \int_0^{\Delta t} dt \int d\Omega R^2 S = \frac{1}{\Delta t} \int_0^{\Delta t} dt \int_{-1}^{+1} d\mu \underbrace{\int_0^{2\pi} d\varphi}_{=2\pi} \frac{\dot{p}^2}{4\pi c^3 R^2} \underbrace{(1 - \mu^2)}_{\sin^2 \theta} R^2$$

$$= \frac{1}{\Delta t} \int_0^{\Delta t} 2\pi \cdot \frac{\dot{p}^2}{4\pi c^3} \int_{-1}^{+1} d\mu (1 - \mu^2)$$

$$= \frac{2}{3c^3} \frac{1}{\Delta t} \int_0^{\Delta t} dt \dot{p}^2$$

falls $p = p_0 \sin(\omega t) \implies \dot{p} = -p_0 \omega^2 \sin(\omega t)$

$$E = \frac{2}{3c^3} p_0^2 \omega^4 \frac{1}{\Delta t} \int_0^{\Delta t} dt \sin^2(\omega t) = \frac{p_0^2 \omega^4}{3c^2} \quad \text{Rayleigh-Streuung + Himmelblau.}$$

Teil D.

Lorentz-Geometrie und spezielle Relativität

D.1. Lorentz- und Galilei Transformationen

Transformationen müssen linear sein, falls sie die Homogenität des Raums (beziehungsweise der Raumzeit) erhalten sollen

$$2 \text{ Bezugssysteme } \begin{cases} S : (t, x^i) = x^\mu \\ S' : (t', x'^i) = x'^\mu \end{cases}$$

$S \xleftrightarrow{\text{lineare Transformationen}} S'$

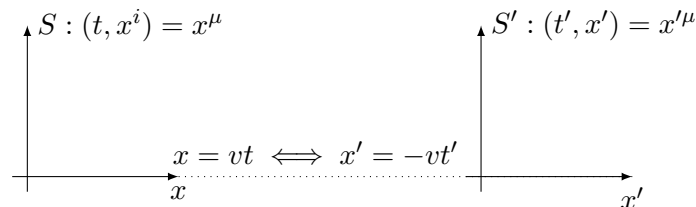
- eine Uhr bewegt sich frei durch S und S' : Trajektorie $x^i(\tau)$, Geschwindigkeit $\partial_\tau x^i = \text{const.}$, „Inertialsystem“
- τ ist die von der Uhr angezeigte Zeit \sim Eigenzeit
- Homogenität: gleiche Zeitintervalle $\frac{dt}{d\tau}$ überall

$$\begin{aligned} \frac{dx^\mu}{d\tau} = \text{const.} &\rightarrow \frac{d^2 x^\mu}{d\tau^2} = 0 \quad , \text{genauso in } S': \quad \frac{d^2 x'^\mu}{d\tau^2} = 0 \\ \frac{dx'^\mu}{d\tau} &= \underbrace{\frac{dx'^\mu}{dx^\nu}}_{\text{Jacobi-Matrix}} \frac{dx^\nu}{d\tau} \rightarrow \frac{d^2 x'^\mu}{d\tau^2} = \underbrace{\frac{\partial x'^\mu}{\partial dx^\nu}}_{\text{Jacobi-Matrix}} \frac{d^2 x^\nu}{d\tau^2} + \frac{\partial^2 x'^\mu}{\partial x^\nu \partial x^\sigma} \frac{dx^\nu}{d\tau} \frac{dx^\sigma}{d\tau} \end{aligned}$$

Falls die Terme mit zwei Ableitungen nach verschiedene Richtungen = 0 sind, ist die Transformation linear. Nur lineare Transformationen können die Homogenität erhalten:

$$\implies \frac{\partial^2 x'^\mu}{\partial x^\nu \partial x^\sigma} = 0 \rightarrow \frac{\partial x'^\mu}{\partial x^\nu} = a^\mu{}_\nu \rightarrow x'^\mu = a^\mu{}_\nu x^\nu + b^\mu$$

D.2. allgemeinste lineare Transformationen zwischen 2 Bezugssystemen



S und S' bewegen sich mit der Relativgeschwindigkeit v . Allgemeiner Ansatz für eine lineare Transformation

1. $x' = ax + bt$, aber $x = vt$ bedeutet $x' = 0$:

$$x' = 0 = avt + bt = (av + b)t$$

$$\rightarrow b = -av, \text{ also } x' = a(x - vt)$$

2. $x = ax' + bt'$, aber $x' = -vt'$ bedeutet $x = 0$:

$$x = 0 = -avx' + bt' = (-av + b)t'$$

$$\rightarrow b = +av, \text{ also } x = a(x' + vt')$$

2 Möglichkeiten:

Galilei universelle Zeit $t = t'$

$$\begin{cases} x' = a(x - vt) \\ x = a(x' + vt) \end{cases} \text{ falls } t = t'$$

Lorentz: universelle Lichtgeschwindigkeit

$$x = ct \text{ und } x' = ct'$$

nur konsistent falls $a = 1$:

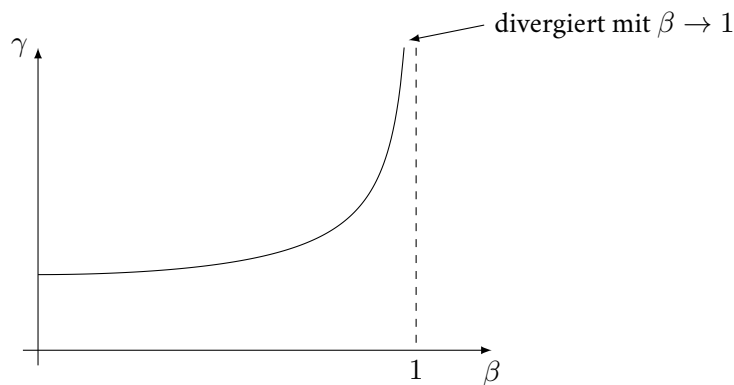
$$\begin{cases} x' = x - vt \\ x = x' + vt \end{cases}$$

$$\begin{cases} ct = a(ct' + vt') \\ ct' = a(ct - vt) \end{cases} \quad (*)$$

Multiplikation beider Gleichungen in (*)

$$c^2 tt' = a^2 (ct' + vt')(ct - vt) = a^2 tt' (c + v)(c - v) = a^2 tt' (c^2 - v^2)$$

$$a \equiv \gamma = \sqrt{\frac{c^2}{c^2 - v^2}} = \frac{1}{\sqrt{1 - \frac{v^2}{c^2}}} = \frac{1}{\sqrt{1 - \beta^2}}, \text{ mit } \beta = \frac{v}{c}$$



$$\beta \ll 1: \quad \gamma \simeq 1 + \underbrace{\frac{\partial \gamma}{\partial \beta}}_{=0} \Big|_{\beta=0} \beta + \frac{1}{2} \underbrace{\frac{\partial^2 \gamma}{\partial \beta^2}}_{=1} \Big|_{\beta=0} \beta^2 + \dots = 1 + \frac{\beta^2}{2}$$

Standardform der Lorentz-Transformation

$$x' = \gamma(x - vt) = \gamma(x - \beta ct)$$

$$ct' = \gamma(ct - \beta x)$$

(aus $x' = \gamma(x - vt)$ und $x = \gamma(x' + vt')$ durch Eliminieren von x' , mit $\frac{1 - \gamma^2}{\gamma} = -\beta^2$) Matrix-Schreibweise

$$\underbrace{\begin{pmatrix} ct' \\ x' \end{pmatrix}}_{x'^{\mu}} = \underbrace{\begin{pmatrix} \gamma & -\gamma\beta \\ -\gamma\beta & \gamma \end{pmatrix}}_{\Lambda_{\nu}^{\mu}} \underbrace{\begin{pmatrix} ct \\ x \end{pmatrix}}_{x^{\nu}}$$

~ gemeinsame Transformation von x und t

$c \simeq 3 \times 10^8 \text{ m s}^{-1}$, „Lichtgeschwindigkeit“ ~ naja, können wir jetzt noch nicht wissen!

D.3. Lorentz-Invarianten

Idee: Rotation lassen $x_i x^i = x^2$ invariant

$$\begin{aligned}(ct')^2 - x'^2 &= \gamma^2 \left((ct)^2 - 2ct\beta x + \beta^2 x^2 - x^2 + 2x\beta ct - \beta^2 c^2 t^2 \right) \\ &= \gamma^2 \left((ct)^2 (1 - \beta^2) - x^2 (1 - \beta^2) \right) \\ &= \gamma^2 (1 - \beta^2) \left((ct)^2 - x^2 \right) = \frac{1}{\sqrt{1 - \beta^2}^2} (1 - \beta^2) \left((ct)^2 - x^2 \right) = \left((ct)^2 - x^2 \right)\end{aligned}$$

$s^2 = (ct)^2 - x^2$ ist invariant unter Lorentz-Transformationen. Minkowski-Metrik

$$\eta_{\mu\nu} = \begin{pmatrix} 1 & & & 0 \\ & -1 & & \\ & & -1 & \\ 0 & & & -1 \end{pmatrix}$$

$$\begin{aligned}s^2 &= \eta_{\mu\nu} x^\mu x^\nu = x_\mu x^\mu \quad \text{mit} \quad x_\mu = \eta_{\mu\nu} x^\nu \\ s^2 &= \eta_{\mu\nu} x^\mu x^\nu = c^2 t^2 - \underbrace{x_i x^i}_{\text{invariant unter Rotation}} \sim \text{identisch in allen Systemen}\end{aligned}$$

D.4. Rapidität und hyperbolische Rotation

D.5. Vergleich zwischen Lorentz-Transformationen und Drehungen

D.6. Symmetrie der Raumzeit

D.7. Additionstheorem für Geschwindigkeiten

D.8. relativistische Effekte

D.9. Eigenzeitintegral

$$ds^2 = \eta_{\mu\nu} dx^\mu dx^\nu$$

$$\text{mit } x^\mu = \begin{pmatrix} ct \\ x^i \end{pmatrix}$$

$$= c^2 dt^2 - dx_i dx^i = c^2 dt^2 \quad (\text{Eigenzeit})$$

4-Geschwindigkeit: Tangente an der Weltlinie $x^\mu(\tau)$

$$\begin{aligned}u^\mu(\tau) &= \frac{d}{d\tau} x^\mu = \frac{dt}{d\tau} \frac{d}{dt} x^\mu = \gamma \begin{pmatrix} c \\ v^i \end{pmatrix} \\ \eta_{\mu\nu} u^\mu u^\nu &= \gamma^2 (c^2 - v_i v_i) = c^2 \gamma^2 (1 - \beta^2) = c^2 \quad (\text{Normierung}) \\ \rightarrow c^2 d\tau^2 &= c^2 dt^2 - dx_i dx^i \\ d\tau &= \sqrt{dt^2 - \frac{dx_i dx^i}{c^2}} = \sqrt{1 - \frac{1}{c^2} \frac{dx_i}{dt} \frac{dx^i}{dt}} dt \\ &= \sqrt{1 - \beta^2} dt = \frac{dt}{\gamma}\end{aligned}$$

Zeitintervall, das von der Uhr angezeigt wird:

$$\Delta\tau = \int_A^B d\tau = \int_A^B \frac{dt}{\gamma}$$

$$S = -mc \int ds = -mc \int dt \sqrt{\eta_{\mu\nu} \frac{dx^\mu}{dt} \frac{dx^\nu}{dt}} = -mc \int dt \sqrt{c^2 - v_i v^i}$$

$$= -mc^2 \int dt \sqrt{1 - \frac{v_i v^i}{c^2}} \approx \int dt \underbrace{\frac{m}{2} v_i v^i}_{T \sim \text{kinetische Energie}} + \text{const.}$$

relativistische Bewegung

klassische Mechanik $\mathcal{L}(x_i \dot{x}_i) = \frac{1}{2} \dot{x}_i \dot{x}_i - \phi(x_i)$

invariante Langrange-Funktion $\xrightarrow{\text{Variation}}$ kovariante Bewegungsgleichung Variation $\delta S = 0 \rightarrow \ddot{x}^i = -\partial^i \phi$

- keine offensichtliche Interpretation von \mathcal{L} oder S
- \mathcal{L} oder S nicht messbar
- Invarianz \rightarrow Kovariant-Argument funktioniert nicht:

$$\dot{x}_i \rightarrow \dot{x}_i + v_i, \mathcal{L} \rightarrow \frac{1}{2} (\dot{x}_i + v_i) (\dot{x}_i + v_i) = \underbrace{\frac{1}{2} \dot{x}_i \dot{x}_i}_{=\mathcal{L}} + \underbrace{\dot{x}_i v^i + \frac{1}{2} v_i v^i}_{\frac{d}{dt} (x_i v^i + \frac{1}{2} v_i v^i t)}$$

\rightarrow wir brauchen eine Lorentz-invariante relativistische Lorentz-Funktion

- \mathcal{L} soll konvex sein
- Legendre-Transformation $\mathcal{H} = \dot{x}^i \frac{\partial \mathcal{L}}{\partial \dot{x}^i} - \mathcal{L}$
- \mathcal{H} ist dann nach unten beschränkt
- am besten aus maximal ersten Ableitungen

$$\mathcal{L} = \mathcal{L}(x_i \dot{x}_i, \ddot{x}_i, \dots)$$

$$\delta S = 0 = \int dt \left(\frac{\partial \mathcal{L}}{\partial x^i} \delta x^i + \frac{\partial \mathcal{L}}{\partial \dot{x}^i} \delta \dot{x}^i + \frac{\partial \mathcal{L}}{\partial \ddot{x}^i} \delta \ddot{x}^i \right)$$

$$\frac{d}{dt} \left(\mathcal{L} - \dot{x}_i \frac{\partial \mathcal{L}}{\partial \dot{x}_i} \right) = \frac{\partial \mathcal{L}}{\partial x_i} \dot{x}^i + \frac{\partial \mathcal{L}}{\partial \dot{x}^i} \ddot{x}^i + \dots - \ddot{x}^i \frac{\partial \mathcal{L}}{\partial \dot{x}^i} - \dot{x}^i \frac{d}{dt} \frac{\partial \mathcal{L}}{\partial \dot{x}^i} = 0 \text{ für } \mathcal{L} = \mathcal{L}(x^i, \dot{x}^i)$$

Idee: klassische Lagrange Funktion \rightarrow relativistische Eigenzeit?

- intuitiv (kein Unterschied von Fermat und Hamilton)
- messbar
- Lorentz-invariant
- konvex
- Möglichkeit zur Einbeziehung der Gravitation

$$S = -mc \int ds = -mc^2 \int d\tau = -mc^2 \int \frac{dt}{\gamma}$$

vergleiche mit mit

$$S = \int dt \mathcal{L}$$

$$\rightarrow \mathcal{L}(\dot{x}) = -\frac{mc^2}{\gamma}$$

D.10. relativistische Energie-Impuls-Beziehung

$$\mathcal{L} = -\frac{1}{\gamma} = \sqrt{c^2 - v^2}$$

$$\rightarrow p = \frac{\partial \mathcal{L}}{\partial v} = \frac{v}{\sqrt{c^2 - v^2}}$$

$$p^2(c^2 - v^2) = v^2, p^2 c^2 = v^2(1 + p^2), v = c \frac{p}{\sqrt{1 + p^2}}$$

$$\mathcal{H} = v \frac{\partial \mathcal{L}}{\partial v} - \mathcal{L} = v \frac{v}{\sqrt{c^2 - v^2}} + \sqrt{c^2 - v^2} = vp + \frac{v}{p} = v \left(p + \frac{1}{p} \right)$$

$$\rightarrow \mathcal{H} = c \frac{p}{\sqrt{1 + p^2}} \frac{p^2 + 1}{p} = c \sqrt{1 + p^2}$$

mit mc^2 :

$$\mathcal{H} = \sqrt{(mc)^2 + c^2 p^2}$$

$$dS^2 = \left(1 + \frac{2\phi}{c^2}\right) c^2 dt^2 - \left(1 - \frac{2\phi}{c^2}\right) dx_i dx^i, |\phi| < c^2, \text{ größer in der S}$$

$$S = -mc \int ds = -mc^2 \int dt \sqrt{\left(1 + \frac{2\phi}{c^2}\right) c^2 \left(1 - \frac{2\phi}{c^2}\right) v^2}$$

$$dS^2 \rightarrow g_{\mu\nu} \underbrace{\frac{dx^\mu}{dt}}_{\begin{pmatrix} c \\ v_i \end{pmatrix}} \underbrace{\frac{dx^\nu}{dt}}_{\begin{pmatrix} c \\ v_i \end{pmatrix}} dt^2$$

$$S = -mc^2 \int dt \sqrt{c^2 \left(1 + \frac{2\phi}{c} - \beta^2\right)} \simeq mc^2 \int dt \left(1 + \frac{\phi}{c^2} - \frac{\beta^2}{c^2}\right)$$

$$\rightarrow S = \int dt \left(\underbrace{\frac{m}{2} v^2}_T - \underbrace{m\phi}_V \right)$$

$$\begin{aligned}
 E^2 &= p^2 + m^2, c = 1, E = \sqrt{p^2 + m^2} \\
 v_{ph} &= \frac{E}{p} = \frac{\sqrt{p^2 + m^2}}{p} \\
 v_{gr} &= \frac{\partial E}{\partial p} = \frac{p}{\sqrt{p^2 + m^2}} \\
 v_{ph}v_{gr} &= \frac{\sqrt{p^2 + m^2}}{p} \frac{p}{\sqrt{p^2 + m^2}} = 1 \\
 c &= \sqrt{v_{ph}v_{gr}}
 \end{aligned}$$

D.11. geometrische Sicht auf Bewegung

$$\begin{aligned}
 \delta S &= -mc^2 \delta \int_A^B d\tau = -mc^2 \int_A^B \frac{\eta_{\mu\nu}}{2dt} (dx^\mu \delta dx^\nu + \delta dx^\mu dx^\nu) \\
 &= -mc^2 \int \eta_{\mu\nu} \frac{dx^\mu}{d\tau} \delta dx^\nu = mc^2 \int \eta_{\mu\nu} \frac{d^2 x^\mu}{d\tau^2} d\tau \delta x^\nu \stackrel{!}{=} 0 \\
 &\quad \downarrow \qquad \qquad \qquad \downarrow \\
 &\text{Symmetrie } \mu \leftrightarrow \nu \qquad \text{Partielle Integration}
 \end{aligned}$$

→ Lösung: $x^\mu(\tau) = a^\mu \tau + b^\mu, \frac{dx^\mu}{d\tau} = a^\mu, \text{const.}$

Prinzip der extremen Eigenzeit → Gradn im kräftefreien Fall.
mechanische Ähnlichkeit:

$$\begin{aligned}
 x &\rightarrow \alpha x \\
 t &\rightarrow \beta t
 \end{aligned}$$

für viele Fälle sieht die Lagrange Funktion so aus:

$$\begin{aligned}
 \mathcal{L} &= \frac{x^2}{2} - x^q \\
 \frac{d}{dt} \frac{\partial \mathcal{L}}{\partial \dot{x}} - \frac{\partial \mathcal{L}}{\partial x} &= 0 \\
 \frac{dx}{d\tau} &= \text{const.}, \frac{d^2 x}{d\tau^2} = \text{const.}
 \end{aligned}$$

D.12. Lorentz-Kräfte und Feldstärketensor

$$\begin{aligned}
 \frac{d\vec{p}}{dt} &= q(\vec{E} + \vec{\beta} \times \vec{B}), \vec{\beta} = \frac{\vec{v}}{c}, \vec{p} = \gamma m \vec{v} \\
 \vec{\beta} \gamma \frac{d\vec{p}}{dt} &= c \vec{\beta} \gamma \frac{d}{dt} (m \gamma \vec{\beta}) = \dots = m \gamma \frac{d}{dt} (\gamma c) = q \vec{\beta} \gamma \vec{E} \\
 \gamma \frac{d\vec{\beta}}{dt} &= cm \gamma \frac{d}{dt} (\gamma \vec{\beta}) = q \gamma (\vec{E} + \vec{\beta} \times \vec{B}) \\
 m \frac{du^\mu}{d\tau} &= \underbrace{\begin{pmatrix} 0 & -E_x & -E_y & -E_z \\ E_x & 0 & -B_x & B_y \\ E_y & B_x & 0 & B_z \\ E_z & -B_y & B_z & 0 \end{pmatrix}}_{F^{\mu\nu} \sim \text{Feldstärketensor}} u_\nu
 \end{aligned}$$

Erhaltung der Normierung von $u_\mu u^\mu = c^2$

$$\frac{1}{2} \frac{d}{d\tau} (u_\mu u^\mu) = u_\mu \frac{du^\mu}{d\tau} = \frac{q}{m} u_\mu F^{\mu\nu} u_\nu = \frac{q}{m} \underbrace{u_\mu u_\nu}_{\text{symmetrisch}} \overbrace{F^{\mu\nu}}^{\text{antisymmetrisch}}$$

$$F^{\mu\nu} \rightarrow \Lambda^\mu_\rho \Lambda^\nu_\sigma F^{\rho\sigma} \quad \text{Lorentztransformation}$$

Teil E.
kovariante Elektrodynamik

E.1. homogene Maxwell-Gleichungen

$$x^\mu = \begin{pmatrix} ct \\ x^i \end{pmatrix} \rightarrow \partial_\mu = \frac{\partial}{\partial x^\mu} = (\partial_{ct}, \partial_i) \rightarrow \partial_\mu x^\mu = 4$$

$$x_\nu = \eta_{\mu\nu} x^\mu = (ct, -x_i)$$

$$\partial^\lambda F^{\mu\nu} + \partial^\mu F^{\nu\lambda} + \partial^\nu F^{\lambda\mu} = 0 \quad \text{Bianchi-Identität}$$

$$\varepsilon_{\mu\nu\rho\sigma} \partial^\nu F^{\rho\sigma} = 0$$

$$\partial^\nu (\varepsilon_{\mu\nu\rho\sigma} F^{\rho\sigma}) = 0$$

$$\partial^\nu \tilde{F}_{\mu\nu} = 0 \quad \tilde{F} \text{ dualer Feldtensor}$$

$$\mu = 0 (\text{nur } B\text{-Komponenten}) : \partial^\nu \tilde{F}_{0\nu} = \partial^i B_i = \text{div } \vec{B} = 0 \checkmark$$

$$\mu = 1 (E\text{- und } B\text{-Komponenten}) : \partial^\nu \tilde{F}_{1\nu} = -\partial_0 B_x - \partial_y E_z + \partial_z E_y \rightarrow \text{rot } \vec{E} = -\partial_{ct} \vec{B}$$

E.2. Kontinuität der Ladungsdichte

$$j^\mu = \begin{pmatrix} \rho c \\ j^i \end{pmatrix} = \rho_0 \gamma \begin{pmatrix} c \\ v^i \end{pmatrix} \rightarrow \partial_\mu j^\mu = \partial_t(\rho c) + \partial_i j^i = \partial_t \rho + \text{div } \vec{j} = 0$$

$\partial_\mu j^\mu \sim$ Lorentz-Invariante, in allen Systemen gleich!

$$\left(\partial_t \int_V d^3r \rho = - \int_{\partial V} d\vec{S} \vec{j} \right)$$

$$\partial_\mu F^{\mu\nu} = \frac{4\pi}{c} j^\nu$$

$$\partial_\nu \partial_\mu F^{\mu\nu} = \frac{4\pi}{c} \partial_\nu j^\nu$$